

บทที่ 5

โปรแกรมจำลองผลstanamไฟฟ้าและการจำลองของระบบสายส่งแบบ 2 มิติ

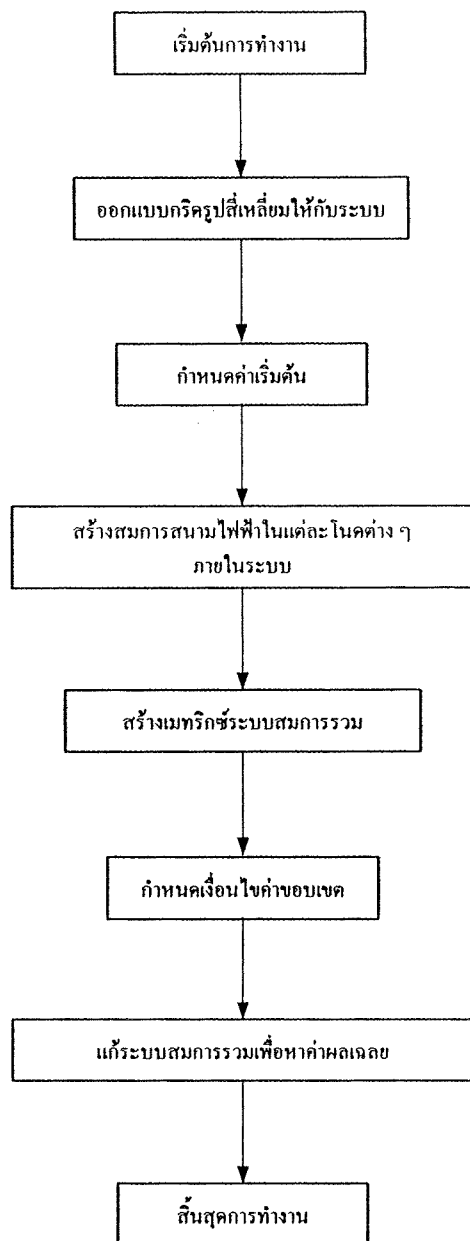
5.1 บทนำ

การจำลองผลของงานวิจัยนี้มีวัตถุประสงค์เพื่อศึกษาถึงการกระจายค่าstanamไฟฟ้า ณ ตำแหน่งต่าง ๆ ภายในระบบสายส่งไฟฟ้าแรงสูง ดังนั้นภายในบทที่ 5 จึงกล่าวถึงค่าพารามิเตอร์ต่าง ๆ ของระบบที่ใช้ในการจำลองผลและอธิบายถึงโปรแกรมจำลองผลด้วยระบบเบียนวิธีไฟในที่คิฟเฟอร์เรนท์ และโปรแกรมจำลองผลด้วยระบบเบียนวิธีไฟในที่อิลิเมนท์ รวมถึงการดำเนินการเบรย์บันพื้นฐานการใช้งานของ MATLAB™ ภายในงานวิจัยนี้ได้ใช้คอมพิวเตอร์ Intel Pentium IV dual cores 3.0 GHz 1GB เพื่อประมวลผลหาค่าstanamไฟฟ้าของระบบสายส่งไฟฟ้า 1 เฟสและ 3 เฟสแบบ 2 มิติ

การจำลองผลมีวัตถุประสงค์เพื่อศึกษาถึงการกระจายตัวของค่าstanamไฟฟ้า ซึ่งภายในงานวิจัยนี้ ได้ใช้ระบบเบียนวิธี 2 วิธี คือ ระบบเบียนวิธีไฟในที่คิฟเฟอร์เรนท์ และระบบเบียนวิธีไฟในที่อิลิเมนท์เป็นพื้นฐานสำคัญในการเขียนโปรแกรมหาค่าผลเฉลยของค่าstanamไฟฟ้า โดยหลักการเขียนโปรแกรมทั้ง 2 วิธีจะมีหลักการคล้ายคลึงกัน คือ เริ่มจากการออกแบบกริดตามขนาดรูปทรงของระบบ โดยระบบเบียนวิธีไฟในที่คิฟเฟอร์เรนท์จะใช้กริดรูปสี่เหลี่ยม และระบบเบียนวิธีไฟในที่อิลิเมนท์จะใช้กริดรูปสามเหลี่ยม จากนั้นสร้างสมการstanamไฟฟ้า สำหรับระบบเบียนวิธีไฟในที่คิฟเฟอร์เรนท์จะคำนึงการสร้างสมการในลักษณะตามโนดต่าง ๆ ภายในระบบ ในขณะที่ระบบเบียนวิธีไฟในที่อิลิเมนท์จะสร้างสมการตามแต่ละอิลิเมนท์ที่ปรากฏขึ้นในระบบแทน เมื่อได้สมการที่อธิบายคุณสมบัติตามโนดหรืออิลิเมนท์ตามแต่ละวิธีแล้ว จากนั้นจะทำการสร้างเมทริกซ์ระบบสมการรวม โดยนำสมการที่ได้จากการพัฒนาตามโนดหรืออิลิเมนท์ต่าง ๆ ตามแต่ละวิธีรวมกันเป็นเมทริกซ์ที่มีขนาดใหญ่ หลังจากได้เมทริกซ์ระบบสมการรวมจะทำการกำหนดค่าในค่าของเขต และแก้ระบบสมการรวมเพื่อหาผลเฉลยอันเป็นการสืบสุคการทำงาน สำหรับรายละเอียดของโปรแกรม 2 วิธีดังกล่าวสามารถแสดงขั้นตอนการคำนวณได้ดังนี้

5.2 ระเบียบวิธีไฟฟ้าในท่อฟเฟอร์เรนท์

การคำนวณหาค่าสนามไฟฟ้าภายใต้ระบบสายส่งไฟฟ้าแรงสูงสามารถดำเนินการคำนวณด้วยระเบียบวิธีไฟฟ้าในท่อฟเฟอร์เรนท์ ตามขั้นตอนภายในโครงสร้างโปรแกรมของแผนภูมิรูปที่ 5.1



รูปที่ 5.1 แผนภูมิการดำเนินงานของโปรแกรมคำนวณสนามไฟฟ้า
ด้วยระเบียบวิธีไฟฟ้าในท่อฟเฟอร์เรนท์

5.2.1 โปรแกรมออกแบบกริดรูปสี่เหลี่ยมให้กับระบบ

โปรแกรมสร้างกริดของระบบที่ใช้ไฟฟ้าในท่อคิฟเฟอร์เรนท์จะมีโครงสร้างของโปรแกรมที่ไม่ซับซ้อนมากนัก โดยจุดประสงค์หลักของโปรแกรมส่วนนี้ คือ การสร้างเมทริกซ์ที่มีสมาชิกภายในเป็นหมายเลขโอนคต่าง ๆ ตามการกำหนดขนาดของระบบที่ต้องการศึกษา เช่น งานวิจัยนี้ต้องการศึกษาระบบไฟฟ้า 3 เฟสบนภาค 69 kV โดยระบบมีความกว้าง 8 m และความสูง 12 m กำหนดให้สมาชิกภายในเมทริกซ์ของระบบรวม คือ หมายเลขโอนคต่าง ๆ ของระบบ โดยระยะห่างระหว่างโอนคตั้งแต่หัวไปหางาน 0.1 m นั้นหมายความว่าด้านบนมีความกว้าง 8 m จะมีจำนวนโอนคปรากฏตามแนวแก้วของเมทริกซ์ระบบรวมเท่ากับ $(8 \times 0.1) + 1 = 81$ โอนค และถ้าความสูง 12 m จะมีจำนวนโอนคปรากฏตามแนวหลักของเมทริกซ์ระบบรวม คือ $(12 \times 0.1) + 1 = 121$ โอนค และท้ายสุดจะได้เมทริกซ์หมายเลขโอนค (N_node) ขนาด 81×121 ตามสมการที่ (5-1)

$$N_{node} = \begin{bmatrix} 1 & 2 & 3 & \dots & \dots & \dots & \dots & 79 & 80 & 81 \\ 82 & 83 & 84 & \dots & \dots & \dots & \dots & 160 & 161 & 162 \\ 163 & 164 & 165 & \dots & \dots & \dots & \dots & 241 & 242 & 243 \\ \vdots & \vdots & \vdots & \ddots & & & & \vdots & \vdots & \vdots \\ \vdots & \vdots & \vdots & & \ddots & & & \vdots & \vdots & \vdots \\ \vdots & \vdots & \vdots & & & \ddots & & \vdots & \vdots & \vdots \\ \vdots & \vdots & \vdots & & & & \ddots & \vdots & \vdots & \vdots \\ 9559 & 9560 & 9561 & \dots & \dots & \dots & \dots & 9637 & 9638 & 9639 \\ 9640 & 9641 & 9642 & \dots & \dots & \dots & \dots & 9718 & 9719 & 9720 \\ 9721 & 9722 & 9723 & \dots & \dots & \dots & \dots & 9799 & 9800 & 9801 \end{bmatrix} \quad (5-1)$$

หลังจากได้เมทริกซ์หมายเลขโอนค สิ่งที่ต้องพัฒนาเพิ่ม คือ เมทริกซ์ที่แสดงการจัดกลุ่มพื้นที่ของโอนคต่าง ๆ ให้เป็นหมวดหมู่ เพื่อให้ง่ายสำหรับการบ่งชี้ถึงวัตถุแต่ละกลุ่มพื้นที่ที่มีค่าพารามิเตอร์แตกต่างกัน และสะทึกด้วยการกำหนดเงื่อนไขค่าข้อมูล

5.2.2 กำหนดค่าเริ่มต้น

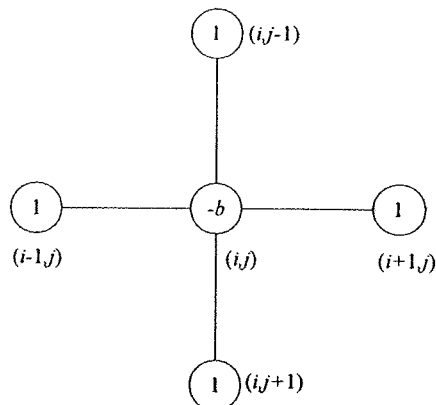
การจำลองผลลัพธ์ของระบบสามส่วนไฟฟ้า 1 เฟส และ 3 เฟสภายในที่นี่ได้กำหนดค่าพารามิเตอร์ที่จำเป็นสำหรับการกำหนดค่าเริ่มต้นของระบบที่ใช้ไฟฟ้าในท่อคิฟเฟอร์เรนท์ซึ่งได้รับการรวมไว้ในตารางที่ 5.1 ดังมีรายละเอียดดังนี้

ตารางที่ 5.1 ค่าพารามิเตอร์สำหรับระเบียบวิธีไฟโน่คิฟเฟอร์เรนท์

พารามิเตอร์	ค่า
ความถี่ (f)	50 Hz
สภาพชาบชื่น ได้ทางแม่เหล็กในสูญญากาศ (μ_0)	$4\pi \times 10^{-7}$ H/m
สภาพชาบชื่น ได้ทางแม่เหล็กสัมพัทธ์ในอากาศ (μ_r)	1.00000037
สภาพยอม ได้ทางไฟฟ้าในสูญญากาศ (ϵ_0)	8.854×10^{-12} F/m
สภาพยอม ได้ทางไฟฟ้าสัมพัทธ์ในอากาศ (ϵ_r)	1
สภาพยอม ได้ทางไฟฟ้าสัมพัทธ์ในมนุษย์ (ϵ_r)	5

5.2.3 การสร้างสมการค่าสถานะไฟฟ้าในแต่ละโนด

ระเบียบวิธีไฟโน่คิฟเฟอร์เรนท์ได้ใช้กริครูปสี่เหลี่ยม ในการคำนวณหาค่าสถานะไฟฟ้า ณ ตำแหน่งโนดต่าง ๆ จากสมการที่ (5-1) จะเห็นว่าตำแหน่งสามารถเขียนในแมทริกซ์ ดังกล่าวมีการวางตัวเป็นรูปสี่เหลี่ยม ดังนั้นจากความรู้ในบทที่ 3 โครงสร้างทั่วไปของระบบจะมีลักษณะตามรูปที่ 4.1 หรืออุอกน์นำเสนอใหม่ในรูปที่ 5.2



รูปที่ 5.2 โครงสร้างของระเบียบไฟโน่คิฟเฟอร์เรนท์

แต่เนื่องจากงานวิจัยนี้ คำนึงถึงค่าสภาพยอมของวัตถุที่มีค่าแตกต่างกัน ดังนั้นการสร้างสมการค่าสถานะไฟฟ้าในแต่ละโนดจึงสามารถสร้างได้ 3 ลักษณะ คือ บริเวณที่เป็นอากาศ หรือ บริเวณที่เป็นร่างกายของมนุษย์ แต่เพียงอย่างเดียว กับ บริเวณเนื้อผ้าระหว่างวัตถุทั้ง 2 ชนิด ซึ่งเคย

แสดงสมการที่ 3 ลักษณะภายในบทที่ 4 โดยอนามัยของสมการดังกล่าวมาแสดงใหม่ในสมการที่ (5-2) (5-3) และ (5-4) ตามลำดับ

อากาศ:

$$\mathbf{E}(i, j) = \frac{1}{(4 - \varepsilon_0 \mu \omega^2 h^2)} [\mathbf{E}(i+1, j) + \mathbf{E}(i-1, j) + \mathbf{E}(i, j+1) + \mathbf{E}(i, j-1)] \quad (5-2)$$

มนุษย์:

$$\mathbf{E}(i, j) = \frac{1}{(4 - 5\varepsilon_0 \mu \omega^2 h^2)} [\mathbf{E}(i+1, j) + \mathbf{E}(i-1, j) + \mathbf{E}(i, j+1) + \mathbf{E}(i, j-1)] \quad (5-3)$$

ร้อยต่อระหว่างมนุษย์กับอากาศ:

$$\mathbf{E}(i, j) = \frac{\varepsilon_1}{2(\varepsilon_1 + \varepsilon_2)} \mathbf{E}(i, j-1) + \frac{\varepsilon_2}{2(\varepsilon_1 + \varepsilon_2)} \mathbf{E}(i, j+1) + \frac{1}{4} \mathbf{E}(i-1, j) + \frac{1}{4} \mathbf{E}(i+1, j) \quad (5-4)$$

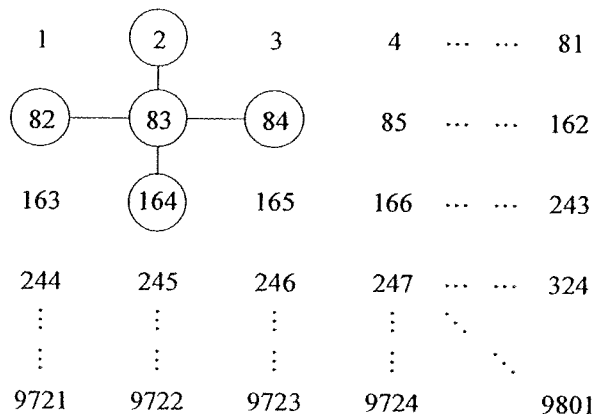
นอกจากนี้บางบริเวณที่อยู่ตามขอบและมุมของระบบจะมีลักษณะโครงสร้างที่แตกต่างกันไปโดยสามารถแสดงโครงสร้างและสมการที่ใช้อธิบายค่าสนามไฟฟ้า ณ บริเวณขอบแบบต่าง ๆ ดังมีรายละเอียดตามตารางที่ 4.1 ดังที่ได้นำเสนอผ่านมาในบทที่ 4

5.2.4 การสร้างเมทริกซ์ระบบสมการรวม

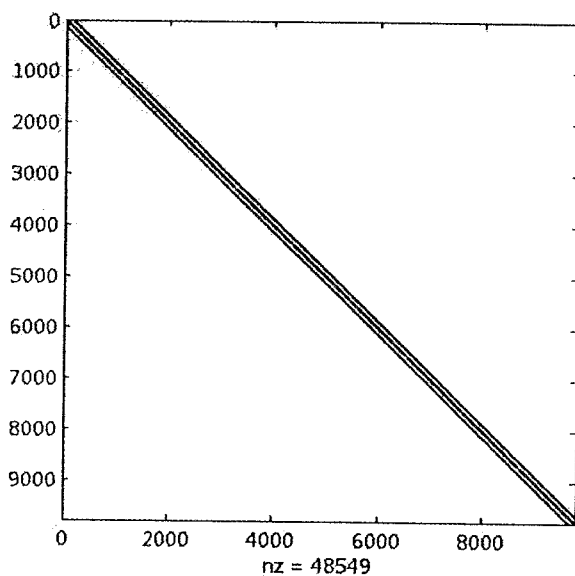
หลังจากได้สมการที่ใช้อธิบายโนดต่าง ๆ อย่างเหมาะสมภายในระบบ โปรแกรมข่ายส่วนนี้จะทำหน้าที่รวมรวมสมการแต่ละโนดที่คำนวณจากขั้นตอนก่อนหน้านี้ เข้ามาเป็นเมทริกซ์ขนาดใหญ่ของระบบสมการดังแสดงด้วยสมการที่ (4-12) การสร้างเมทริกซ์ระบบสมการรวมของระบบบีบบิชีนีมีหลักการ คือ หาหมายเลขโนดที่แท้จริงที่อยู่รอบ ๆ โนดที่กำลังพิจารณาอยู่ แล้วใส่ค่าสัมประสิทธิ์ของโนดนั้นลงในเมทริกซ์ใหญ่ของระบบสมการรวมให้ถูกต้อง ถ้าลักษณะของปัญหาถูกแบ่งออกเป็นโนดทั้งหมด n โนด จะก่อให้เกิดระบบสมการรวมซึ่งประกอบด้วยสมการย่อยทั้งสิ้น n สมการ เช่น ในรูปที่ 5.3 โนดที่พิจารณา คือ ตำแหน่งโนดที่ 83 โดยมีตำแหน่งโนดรอบข้าง คือ ตำแหน่งโนดที่ 2 ตำแหน่งโนดที่ 82 ตำแหน่งโนดที่ 84 และตำแหน่งโนด

ที่ 164 สมมติให้บริเวณตำแหน่งที่พิจารณาเป็นบริเวณที่มีอากาศอย่างเดียว ดังนั้นสัมประสิทธิ์ของตำแหน่งในกรอบข้างจะมีค่าเท่ากับ 1 1 1 และ 1 ตามลำดับ ในขณะที่ในดีที่พิจารณาจะมีสัมประสิทธิ์เท่ากับ $4 - \varepsilon_0 \mu \omega^2 h^2$ จากสมการที่ (5-2) จะได้

$$-(4 - \varepsilon_0 \mu \omega^2 h^2) \mathbf{E}(i, j) + (1) \mathbf{E}(i+1, j) + (1) \mathbf{E}(i-1, j) + (1) \mathbf{E}(i, j+1) + (1) \mathbf{E}(i, j-1) = 0 \quad (5-5)$$



รูปที่ 5.3 การสร้างเมทริกซ์ระบบสมการรวม



รูปที่ 5.4 ลักษณะการวางตัวของสมาชิกภายในเมทริกซ์ของระบบสมการรวม

จากนั้นนำค่าสัมประสิทธิ์หน้า $E(i,j)$ $E(i+1,j)$ $E(i-1,j)$ $E(i,j+1)$ และ $E(i,j-1)$ จากสมการที่ (5-5) มาแทนค่าใส่เมทริกซ์ใหญ่ของระบบสมการรวมในแຄวที่ 83 โดยค่าสัมประสิทธิ์ของ $E(i,j)$ $E(i+1,j)$ $E(i-1,j)$ $E(i,j+1)$ และ $E(i,j-1)$ จะถูกป้อนลงในหลักที่ 2 82 84 และ 164 ของแຄวนน์ จึงเป็นการรวมสมการของระบบสมการรวมเสร็จเพียง 1 โนด ถ้าระบบที่ทำการคำนวณถูกแบ่งออกเป็นโนดทั้งหมด n โนด จะต้องทำการรวมสมการของระบบสมการรวมทั้งหมด n ครั้ง เมื่อทำการรวมเสร็จจะได้ลักษณะการวางตัวของสมาชิกที่มีค่าไม่เป็นศูนย์ของระบบสมการรวมดังรูปที่ 5.4

5.2.5 กำหนดเงื่อนไขค่าขอบเขต

ขั้นตอนส่วนนี้จะทำหน้าที่ระบุค่าเงื่อนไขขอบเขตก่อนทำการแก้ระบบสมการรวม โดยมีหลักการ คือ ดักแปลงระบบสมการรวมตามสมการที่ (4-12) ให้สอดคล้องกับค่าเงื่อนไขขอบเขต โดยงานวิจัยนี้จะกำหนดค่าเงื่อนไขขอบเขตของตัวนำสายส่งในรูปของสนามไฟฟ้าทั้งกรณี 1 เฟสและ 3 เฟส กับโทรศัพท์มือถือที่มีการกระจายค่าสนามไฟฟ้าคงที่โดยรอบขนาด $10 \times 20 \text{ cm}^2$ (nokia3210) ดังรูปที่ 4.6(a) ในบทที่ 4 ซึ่งสามารถสรุประยุทธ์การอ่านค่าขอบเขตของระบบไฟฟ้านาคตต่างๆ ได้ดังนี้

ระบบไฟฟ้า 1 เฟส

- ระบบไฟฟ้านาค 69 kV:

$$\nu = 69 \text{ kV} \quad E = 8.8284 \times 10^4 \text{ V/m}$$

ระบบไฟฟ้า 3 เฟส (เฟสสมดุล)

- ระบบไฟฟ้านาค 230 kV:

เฟส A (0°)

$$\nu = 230 \text{ kV} \quad E = 2.8202 \times 10^5 \text{ V/m}$$

เฟส B (-120°)

$$\nu = 230 \angle -120^\circ \text{ kV} \quad E = -1.4101 \times 10^5 - j2.4425 \times 10^5 \text{ V/m}$$

เฟส C (120°)

$$\nu = 230 \angle 120^\circ \text{ kV} \quad E = -1.4101 \times 10^5 + j2.4425 \times 10^5 \text{ V/m}$$

- ระบบไฟฟ้าข่านาด 500 kV:

เฟส A (0°)

$$v = 500 \text{ kV} \quad E = 6.0134 \times 10^5 \text{ V/m}$$

เฟส B (-120°)

$$v = 500 \angle -120^\circ \text{ kV} \quad E = -3.0067 \times 10^5 - j5.2077 \times 10^5 \text{ V/m}$$

เฟส C (120°)

$$v = 500 \angle 120^\circ \text{ kV} \quad E = -3.0067 \times 10^5 + j5.2077 \times 10^5 \text{ V/m}$$

ระบบไฟฟ้า 3 เฟส (เฟสไม่สมดุล)

สำหรับกรณีระบบไฟฟ้า 3 เฟสไม่สมดุลจะทำการศึกษาเฉพาะระบบไฟฟ้าข่านาด 230 kV เพื่อให้พอเห็นภาพลักษณะการเปลี่ยนแปลงของสนามไฟฟ้าเมื่อระบบไม่มีความสมดุล ซึ่งลักษณะความไม่สมดุลของระบบไฟฟ้า 3 เฟส สามารถแยกศึกษาได้ 2 กรณี คือ กรณีข่านาดไม่สมดุล (เฟสคงที่) กับกรณีมีมูลเฟสไม่สมดุล (ขนาดคงที่) ซึ่งมีรายละเอียดการกำหนดเงื่อนไขค่าของเบตของระบบไฟฟ้า 3 เฟสไม่สมดุล ได้ดังนี้

ข่านาดไม่สมดุล ($\pm 10\%$ ของข่านาดเฟสอ้างอิง)

- กรณีเฟส A (เฟสอ้างอิง)

$$v = 230 \angle 0^\circ \text{ kV} \quad E = 2.8202 \times 10^5 \text{ V/m}$$

เฟส B (-10%)

$$v = 207 \angle -120^\circ \text{ kV} \quad E = -1.269 \times 10^5 - j2.1981 \times 10^5 \text{ V/m}$$

เฟส C ($+10\%$)

$$v = 253 \angle 120^\circ \text{ kV} \quad E = -1.5511 \times 10^5 + j2.6865 \times 10^5 \text{ V/m}$$

- กรณีเฟส B (เฟสอ้างอิง)

$$v = 230 \angle -120^\circ \text{ kV} \quad E = -1.4101 \times 10^5 - j2.4424 \times 10^5 \text{ V/m}$$

เฟส C (-10%)

$$v = 207 \angle 120^\circ \text{ kV} \quad E = -1.269 \times 10^5 + j2.1981 \times 10^5 \text{ V/m}$$

เฟส A ($+10\%$)

$$v = 253 \angle 0^\circ \text{ kV} \quad E = 3.1022 \times 10^5 \text{ V/m}$$

- กรณีไฟส C (ไฟสอ้างอิง)

$$\nu = 230\angle 120^\circ \text{ kV} \quad E = -1.4101 \times 10^5 + j2.4424 \times 10^5 \text{ V/m}$$

ไฟส A (-10%)

$$\nu = 207\angle 0^\circ \text{ kV} \quad E = 2.5382 \times 10^5 \text{ V/m}$$

ไฟส B (+10%)

$$\nu = 253\angle -120^\circ \text{ kV} \quad E = -1.5511 \times 10^5 - j2.6865 \times 10^5 \text{ V/m}$$

มุมไฟสไม่สมดุล ($\pm 30^\circ$ ของมุมไฟสอ้างอิง)

- กรณีไฟส A (ไฟสอ้างอิง)

$$\nu = 230\angle 0^\circ \text{ kV} \quad E = 2.8202 \times 10^5 \text{ V/m}$$

ไฟส B (-30°)

$$\nu = 230\angle -150^\circ \text{ kV} \quad E = 2.4424 \times 10^5 - j1.4101 \times 10^5 \text{ V/m}$$

ไฟส C (+30°)

$$\nu = 230\angle 150^\circ \text{ kV} \quad E = -2.4424 \times 10^5 + j1.4101 \times 10^5 \text{ V/m}$$

- กรณีไฟส B (ไฟสอ้างอิง)

$$\nu = 230\angle -120^\circ \text{ kV} \quad E = -1.4101 \times 10^5 - j2.4424 \times 10^5 \text{ V/m}$$

ไฟส C (-30°)

$$\nu = 230\angle 90^\circ \text{ kV} \quad E = j2.8202 \times 10^5 \text{ V/m}$$

ไฟส A (+30°)

$$\nu = 230\angle 30^\circ \text{ kV} \quad E = 2.4424 \times 10^5 + j1.4101 \times 10^5 \text{ V/m}$$

- กรณีไฟส C (ไฟสอ้างอิง)

$$\nu = 230\angle 120^\circ \text{ kV} \quad E = -1.4101 \times 10^5 + j2.4424 \times 10^5 \text{ V/m}$$

ไฟส A (-30°)

$$\nu = 230\angle -30^\circ \text{ kV} \quad E = 2.4424 \times 10^5 - j1.4101 \times 10^5 \text{ V/m}$$

ไฟส B (+30°)

$$\nu = 230\angle -90^\circ \text{ kV} \quad E = -j2.8202 \times 10^5 \text{ V/m}$$

ໂທຣັກພົມມືອດືອ

ຕໍາແໜ່ງບນຊ້າຍແລະຕໍາແໜ່ງບນຂວາ

$$E = 45.5 \text{ V/m}$$

ຕໍາແໜ່ງກລາງຊ້າຍ

$$E = 33.5 \text{ V/m}$$

ຕໍາແໜ່ງກລາງຂວາ

$$E = 48.2 \text{ V/m}$$

ຕໍາແໜ່ງລ່າງຊ້າຍແລະຕໍາແໜ່ງບນຂວາ

$$E = 48.5 \text{ V/m}$$

5.2.6 ແກ້ຮະບນສາມຄາຮຽນເພື່ອຫາພລເຄລຍ

ບັນດອນສຸດທ້າຍສ່ວນນີ້ຈະທໍາທຳນໍາທີ່ແກ້ສາມຄາຮຽນເຊີງເສັ້ນເພື່ອຫາຄ່າພລເຄລຍຂອງຮະບນສາມຄາຮຽນ ໂດຍການເລືອກໃຊ້ຮະບັບວິທີການທຳມະທົກສ໌ຜົກຜັນ (matrix inverse) ເນື່ອງຈາກມະທົກສ໌ມີລັກຄະນະສົມມາຕັບ ແລະ ຄໍາດີເທິ່ງມີແນນຕີຂອງເມທົກສ໌ຮະບນສາມຄາຮຽນ ໄນມີເປັນຄູນຢືນສາມາດຄຳກຳນວັນຫາຄ່າພລເຄລຍດ້ວຍວິທີນີ້ໄດ້ດັ່ງສາມາດກີ່າ (4.17) ໃນບັທຶກທີ່ 4

5.3 ຮະບັບວິທີໄຟໄຟໄຟໃໝ່

ການຄຳກຳນວັນຫາຄ່າສານາມໄຟໄຟກາຍໃຫ້ຮະບນສາຍສ່າງໄຟໄຟແຮງສູງດ້ວຍຮະບັບວິທີໄຟໄຟໃໝ່ ທີ່ສາມາດຄຳແນນກຳນວັນຫາ ຕາມບັນດອນກາຍໃນ ໂຄງສ້າງໂປຣແກຣມຂອງແພນກູມ ຮູບທີ່ 5.5

5.3.1 ໂປຣແກຣມອອກແນບກຣິດຽບສາມເຫຼື່ອນໄທກັບຮະບນ

ໂຄງສ້າງໂປຣແກຣມສ້າງກຣິດຂອງບັນດອນນີ້ປະກອບດ້ວຍໂປຣແກຣມຫລັກແລະ ໂປຣແກຣມຍ່ອຍຕ່າງໆ ຈຶ່ງທໍາທຳນໍາທີ່ແຕກຕ່າງກັນ ບັນດອນການທໍາງານຂອງໂປຣແກຣມສາມາດອົບນາຍ ຮາຍລະເອີບດໄດ້ດັ່ງນີ້

ໂປຣແກຣມສ້າງກຣິດເຮັດວຽກຕົ້ນທໍາງານຈາກການຮັບຄ່າອິນພຸດເປັນເມທົກສ໌ທີ່ມີບັນດອນຕ່າງໆ ກັນຈຶ່ງເປັນຕົວແທນຂອງໂຄງສ້າງຮູປ່າງນຸ່ມຍີ້ ຕ້າວນໍາໃນສາຍສ່າງ ໂທຣັກພົມມືອດືອ ແລະ ພື້ນທີ່ໂລ່ງ ບຣິເວລັນທີ່ເປັນອາກາສ ໂດຍມະທົກສ໌ດັ່ງກ່າວດີ້ອີເປັນການຮັບຂໍ້ອມູນທີ່ສໍາຄັງໃນການຄຳແນນກາຮ່ວງແຮກ ຂອງໂປຣແກຣມຫລັກ ຈາກນີ້ຈະເຂົ້າສູ່ບັນດອນກາຮະບູໝາຍເລີຂອງອົດິເມນທີ່ ແລະ ມາຍເລີຂອງໂນຄ ພຣ້ອມທີ່ຕໍ່ຕໍ່ແໜ່ງຄ່າພິກັດຂອງແຕ່ລະໂນດໃນສ່ວນຂອງວັດຖຸຕ່າງໆ ກາຍໃນຮະບນ ເຊັ່ນ ກາຍຫາຕໍ່ແໜ່ງ ຄ່າພິກັດຂອງແຕ່ລະໂນດຂອງໂຄງສ້າງຮ່າງກາຍນຸ່ມຍີ້ ຕ້າວນໍາໃນສາຍສ່າງ ໂທຣັກພົມມືອດືອ ແລະ ບຣິເວລັນ

อากาศรอบ ๆ วัตถุ เพื่อให้ง่ายต่อการระบุถึงวัตถุแต่ละชนิดที่มีค่าพารามิเตอร์แตกต่างกันจะทำการจัดกลุ่มพื้นที่ของแต่ละอิเล็กทรอนิกส์ และ โหนดต่าง ๆ ให้เป็นหมวดหมู่ นอกจากนี้ยังง่ายต่อการกำหนดค่าเงื่อนไขของเขตซึ่งขึ้นตอนดังกล่าวสามารถแสดงได้ดังมีรายละเอียดในโปรแกรมย่ออย่าง

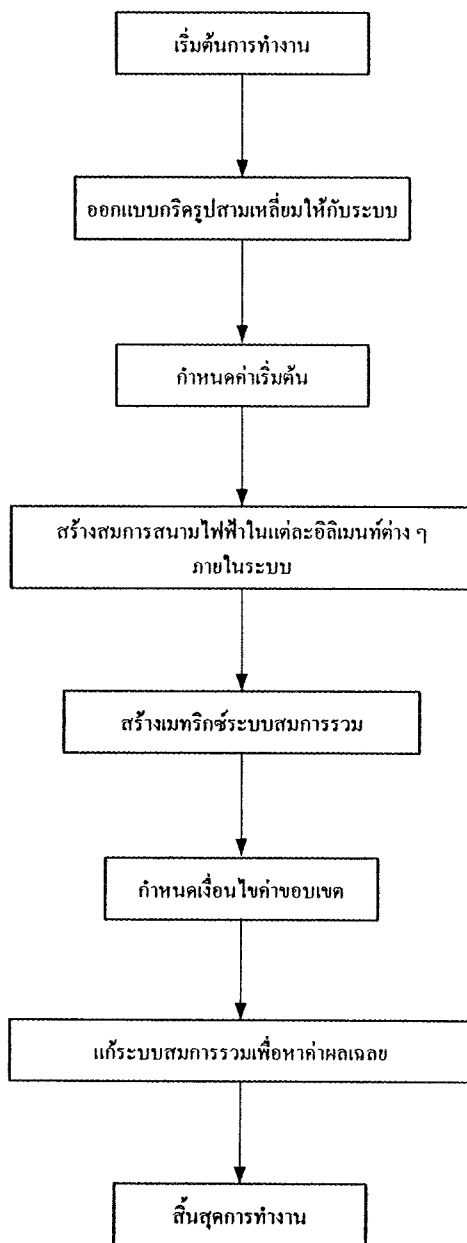
ขั้นตอนการระบุหมายเลขของอิเล็กทรอนิกส์และหมายเลขของโหนด พร้อมทั้งค่าพิกัดของแต่ละโหนดในส่วนของพื้นที่ที่เป็นอากาศ จากรูปที่ 5.6 จะเห็นว่าระบบไฟฟ้า 3 เฟสบนภาค 69 kV จะมีบริเวณที่เป็นอากาศทั้งหมด 6 บริเวณ โดยสิ่งที่สำคัญที่สุด คือ ภายในอากาศแต่ละบริเวณจะต้องทราบหมายเลขโหนดของเมทริกซ์ในแต่ละบริเวณดังกล่าวให้ถูกต้อง เช่น อากาศบริเวณที่ 2 เป็นเมทริกซ์ขนาด 9×2 มีสมาชิกภายในเมทริกซ์เป็นหมายเลขโหนดต่าง ๆ ดังสมการที่ (5-6)

$$N_sp2 = \begin{bmatrix} 12 & 13 \\ 0 & 0 \\ 31 & 32 \\ 0 & 0 \\ 61 & 62 \\ 0 & 0 \\ 91 & 92 \\ 0 & 0 \\ 116 & 117 \end{bmatrix} \quad (5-6)$$

ซึ่งโปรแกรมส่วนนี้จะดำเนินการหาเมทริกซ์ที่แทนหมายเลขโหนดของแต่ละบริเวณจำนวนทั้งหมด 6 บริเวณที่มีขนาดแตกต่างดังนี้ คือ อากาศบริเวณที่ 1 เป็นเมทริกซ์ขนาด 2×51 อากาศบริเวณที่ 2 กับ 3 เป็นเมทริกซ์ขนาด 9×2 อากาศบริเวณที่ 4 เป็นเมทริกซ์ขนาด 8×51 และ อากาศบริเวณที่ 5 กับ 6 เป็นเมทริกซ์ขนาด 31×6

หลังจากได้เมทริกซ์หมายเลขโหนดของบริเวณทั้งหมด 6 บริเวณ จากนั้นนำเมทริกซ์ดังกล่าวเข้าโปรแกรมย่ออย่างที่คำนวณหาหมายเลขของอิเล็กทรอนิกส์ หมายเลขลำดับโหนด และ ค่าพิกัดของแต่ละโหนด เช่น อากาศบริเวณที่ 2 ซึ่งสามารถแสดงด้วยเมทริกซ์ที่แทนหมายเลขของอิเล็กทรอนิกส์หมายเลขลำดับโหนด และ ค่าพิกัดของแต่ละโหนดดังนี้

$$Nspace_zone2 = \begin{bmatrix} 21 & 12 & 31 & 32 \\ 22 & 12 & 32 & 13 \\ 23 & 31 & 61 & 62 \\ 24 & 31 & 62 & 32 \\ 25 & 61 & 91 & 92 \\ 26 & 61 & 92 & 62 \\ 27 & 91 & 116 & 117 \end{bmatrix} \quad (5-7)$$



รูปที่ 5.5 แผนภูมิการดำเนินงานของโปรแกรมคำนวณสานามไฟฟ้า
ด้วยระบบเมบิคช์ไฟฟ้าในท่อไฮดรอลิก

โดยที่หลักที่ 1 ของเมตริกซ์ Nspace_zone2 แทนหมายเลขของอิลิเมนท์ และ หลักที่ 2-4 แทนหมายเลขลำดับ โนดของแต่ละอิลิเมนท์

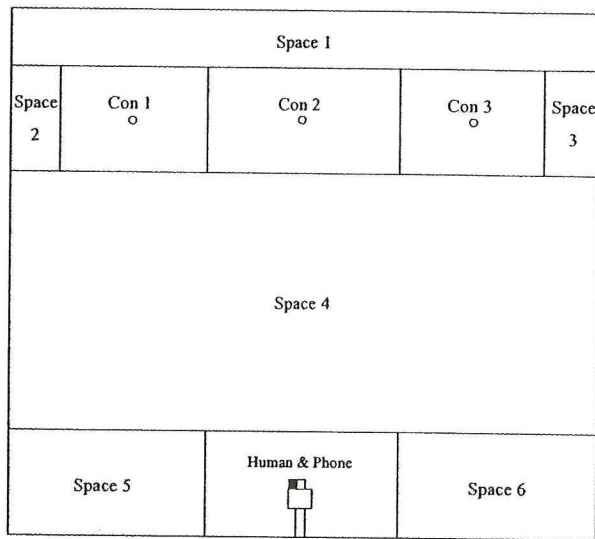
จากสมการที่ (5-8) หลักที่ 1 ของเมตริกซ์ node_s2 แทนหมายเลขโนดของอาคาร บริเวณที่ 2 และหลักที่ 2 ถึง 3 แทนตำแหน่งค่าพิกัดแกน x และ แกน y ของแต่ละโนดตามลำดับ

$$\text{node_s2} = \begin{bmatrix} 12 & 0 & 14 \\ 13 & 1 & 14 \\ 31 & 0 & 13 \\ 32 & 1 & 13 \\ 61 & 0 & 12 \\ 62 & 1 & 12 \\ 91 & 0 & 11 \\ 92 & 1 & 11 \\ 116 & 0 & 10 \\ 117 & 1 & 10 \end{bmatrix} \quad (5-8)$$

ขั้นตอนการระบุหมายเลขของอิลิเมนท์และหมายเลขของโนด พร้อมทั้งค่าพิกัดของแต่ละโนดในส่วนของโครงสร้างร่างกายมนุษย์ เมื่อจะใช้อุปกรณ์สื่อสาร ซึ่งสามารถทำได้ในลักษณะเดียวกับการคำนวณหมายเลขของอิลิเมนท์ หมายเลขลำดับ โนด และค่าพิกัดของแต่ละโนดในส่วนของตัวนำภาษาในสายสั่ง

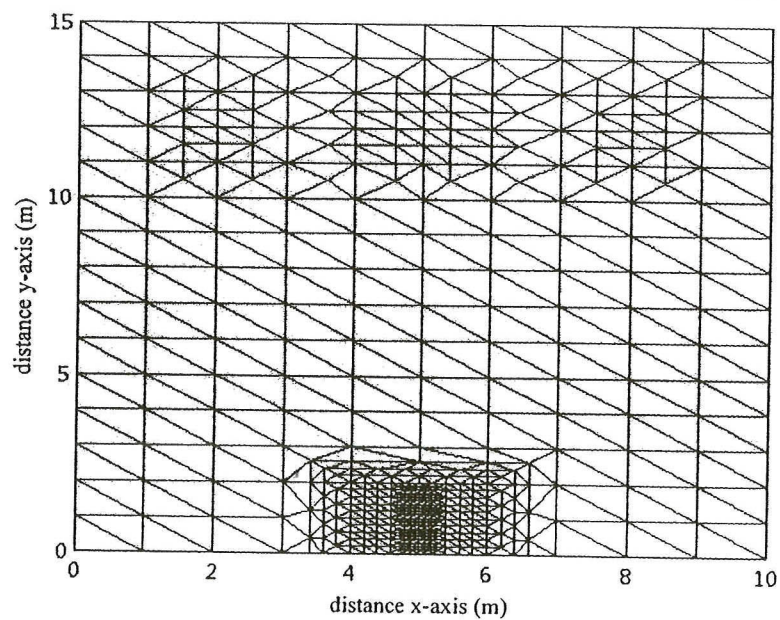
สำหรับ ขั้นตอนการระบุหมายเลขของอิลิเมนท์และหมายเลขของโนด พร้อมทั้งค่าพิกัดของแต่ละโนดในส่วนของตัวนำภาษาในสายสั่ง จากรูปที่ 5.6 จะเห็นได้ว่าระบบไฟฟ้า 3 เฟส ขนาด 69 kV จะมีบริเวณตัวนำทั้งหมด 3 บริเวณ ซึ่งสามารถทำได้ในลักษณะเดียวกับการคำนวณหมายเลขของอิลิเมนท์ หมายเลขลำดับ โนด และค่าพิกัดของแต่ละโนดในส่วนของตัวนำภาษาในสายสั่ง และรูปร่างของมนุษย์จะใช้อุปกรณ์สื่อสาร

หลังจากคำนวณหมายเลขของอิลิเมนท์ หมายเลขลำดับ โนด และค่าพิกัดของแต่ละโนด ของแต่ละวัตถุภายในระบบ ขั้นตอนต่อไปจะนำข้อมูลที่คำนวณได้มารวบกับการแสดงผลการวางแผนตัวของแต่ละอิลิเมนท์ตลอดทั้งพื้นที่ของระบบที่พิจารณาด้วยคำสั่ง `triplot` ในโปรแกรม MATLAB™ โดยขั้นตอนนี้จะนำเสนอตำแหน่งการวางแผนตัวของแต่ละโนดในบริเวณต่าง ๆ เช่น บริเวณอาคารโดยรอบตัวนำในสายสั่ง และ มนุษย์ ซึ่งสามารถแสดงภาพรวมของระบบไฟฟ้า 3 เฟสขนาด 69 kV ได้ดังรูปที่ 5.7 และสามารถแสดงการศึกษาเฉพาะที่ของบริเวณที่เป็นอาคารตัวนำในสายสั่ง และ มนุษย์ได้ดังรูปที่ 5.8-5.11



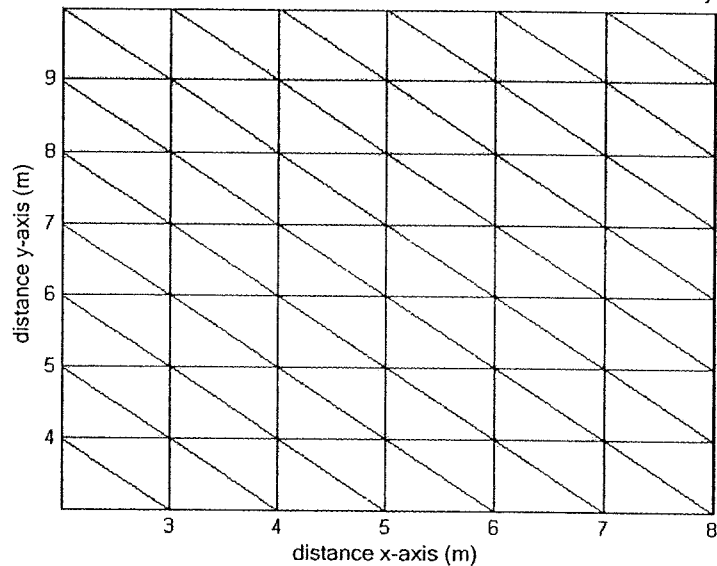
รูปที่ 5.6 การแบ่งพื้นที่เป็นหมวดหมู่ตามลักษณะความแตกต่างของวัตถุ

Triangular grid design for calculation FEM in 69 kV Transmission line system



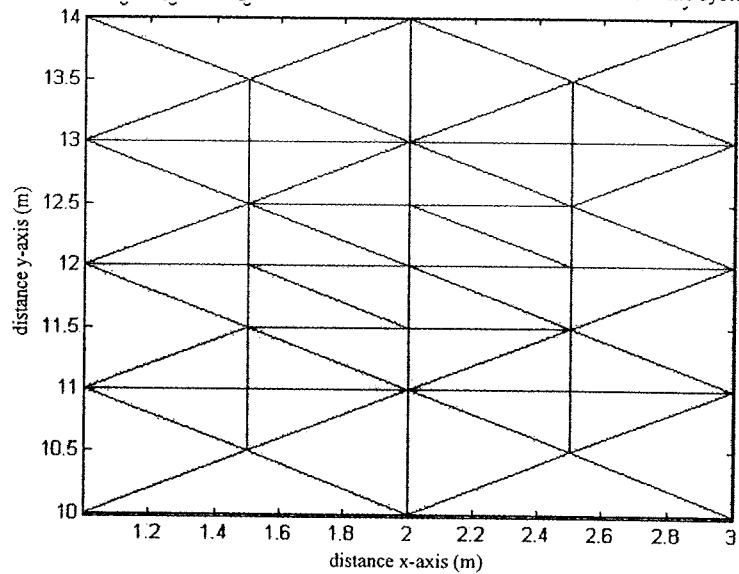
รูปที่ 5.7 ลักษณะการสร้างกริดภายในระบบไฟฟ้า 3 เฟสขนาด 69 kV

Triangular grid design for Calculation FEM in 69 kV Transmission line system

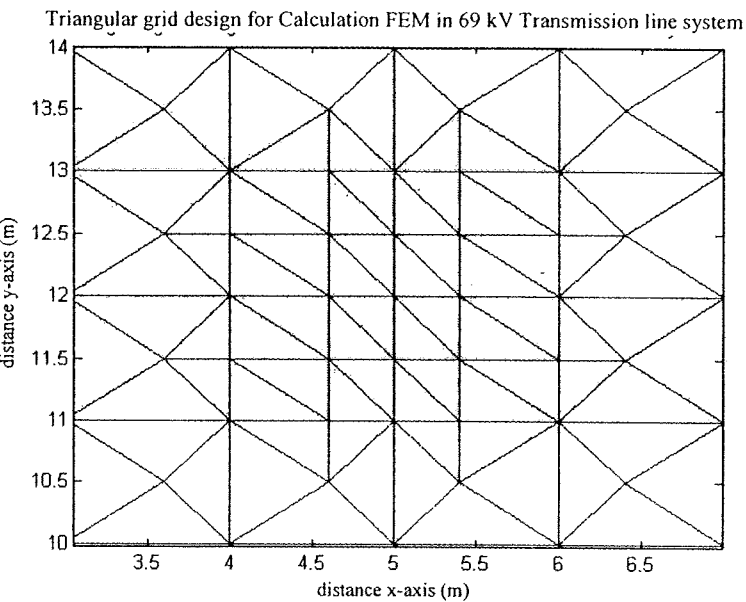


รูปที่ 5.8 ลักษณะการสร้างกริดในบริเวณที่เป็นอาคาร

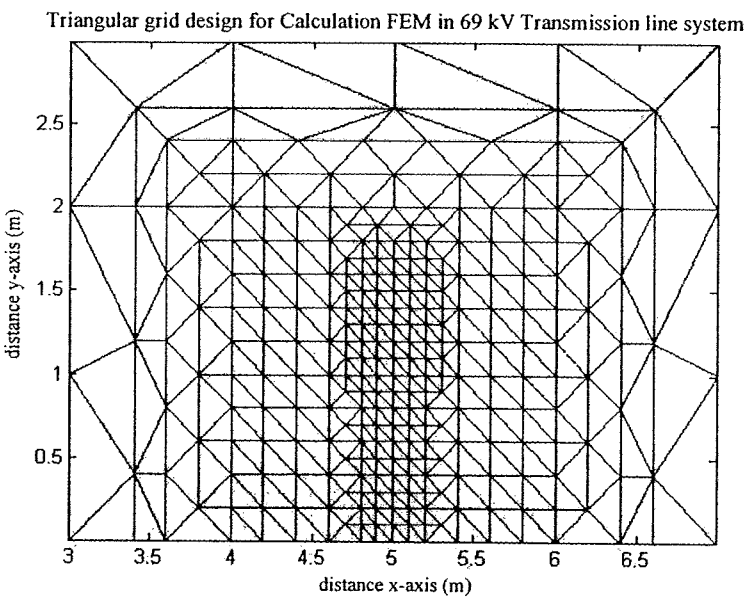
Triangular grid design for Calculation FEM in 69 kV Transmission line system



รูปที่ 5.9 ลักษณะการสร้างกริดในบริเวณที่เป็นตัวนำสายส่งตัวที่ 1 และ 3



รูปที่ 5.10 ลักษณะการสร้างกริดในบริเวณที่เป็นตัวนำสายส่งตัวที่ 2



รูปที่ 5.11 ลักษณะการสร้างกริดในบริเวณที่เป็นมนุษย์

5.3.2 กำหนดค่าเริ่มต้น

การจำลองผลสนามไฟฟ้าของระบบสายส่งไฟฟ้า 1 เฟส และ 3 เฟส สำหรับระเบียบวิธีไฟในท่ออิเล็กทรอนิกส์ที่จะใช้ค่าพารามิเตอร์ที่จำเป็นสำหรับการกำหนดค่าเริ่มต้นเช่นเดียวกับระเบียบวิธีไฟในท่อฟีฟอร์เรนท์ ซึ่งได้รับการรวมไว้ในตารางที่ 5.1

5.3.3 การสร้างสมการค่าสนามไฟฟ้าในแต่ละอิเล็กทรอนิกส์

ขั้นตอนนี้ของระเบียบวิธีไฟในท่ออิเล็กทรอนิกส์ได้ใช้กริดรูปสามเหลี่ยมในการพัฒนาสมการที่ใช้สำหรับคำนวณหาค่าสนามไฟฟ้าในแต่ละอิเล็กทรอนิกส์ เนื่องจากภายในระบบมีวัตถุที่มีคุณสมบัติแตกต่างกันอยู่ 2 ชนิด คือ อากาศกับร่างกายของมนุษย์ ซึ่งทั้งสองมีค่าสภาพของสัมพัทธ์เท่ากับ 1 และ 5 ตามลำดับ จากสมการที่ (5-35) เป็นสมการสนามไฟฟ้าในอิเล็กทรอนิกส์ที่อยู่ในบริเวณอากาศ กับสมการที่ (5-36) เป็นสมการสนามไฟฟ้าในอิเล็กทรอนิกส์ที่อยู่ในโครงสร้างฐานราก ซึ่งทั้งสองสมการสามารถนำมาเสนอใหม่ดังสมการที่ (5-9) และ (5-10) ตามลำดับ

อากาศ:

$$[K^{(e)}] = \frac{1}{4\Delta_e} \begin{bmatrix} b_i^2 & b_i b_j & b_i b_k \\ b_i b_j & b_j^2 & b_j b_k \\ b_i b_k & b_k b_j & b_k^2 \end{bmatrix} + \frac{1}{4\Delta_e} \begin{bmatrix} c_i^2 & c_i c_j & c_i c_k \\ c_i c_j & c_j^2 & c_j c_k \\ c_i c_k & c_k c_j & c_k^2 \end{bmatrix} - \frac{\mu_0 \epsilon_0 \omega^2 \Delta_e}{12} \begin{bmatrix} 2 & 1 & 1 \\ 1 & 2 & 1 \\ 1 & 1 & 2 \end{bmatrix} \quad (5-9)$$

มนุษย์:

$$[K^{(e)}] = \frac{1}{4\Delta_e} \begin{bmatrix} b_i^2 & b_i b_j & b_i b_k \\ b_i b_j & b_j^2 & b_j b_k \\ b_i b_k & b_k b_j & b_k^2 \end{bmatrix} + \frac{1}{4\Delta_e} \begin{bmatrix} c_i^2 & c_i c_j & c_i c_k \\ c_i c_j & c_j^2 & c_j c_k \\ c_i c_k & c_k c_j & c_k^2 \end{bmatrix} - \frac{5\mu_0 \epsilon_0 \omega^2 \Delta_e}{12} \begin{bmatrix} 2 & 1 & 1 \\ 1 & 2 & 1 \\ 1 & 1 & 2 \end{bmatrix} \quad (5-10)$$

5.3.4 การสร้างเมทริกซ์ระบบสมการรวม

หลังจากได้สมการที่ใช้อธินายอิเล็กทรอนิกส์ที่ต่าง ๆ อย่างเหมาะสมภายในระบบโปรแกรมย่อยส่วนนี้จะทำหน้าที่รวมรวมสมการแต่ละอิเล็กทรอนิกส์ที่คำนวณจากขั้นตอนก่อนหน้านี้เข้ามาเป็นเมทริกซ์ขนาดใหญ่ของระบบสมการดังแสดงด้วยสมการที่ (4-12) การสร้างเมทริกซ์ระบบสมการรวมของระเบียบวิธีนี้มีหลักการ คือ หาหมายเลขโนดที่แท้จริงของอิเล็กทรอนิกส์ที่กำลังพิจารณาอยู่ แล้วใส่ค่าสัมประสิทธิ์ของอิเล็กทรอนิกส์ที่นั้นลงในเมทริกซ์ใหญ่ของระบบสมการรวมให้ถูกต้อง

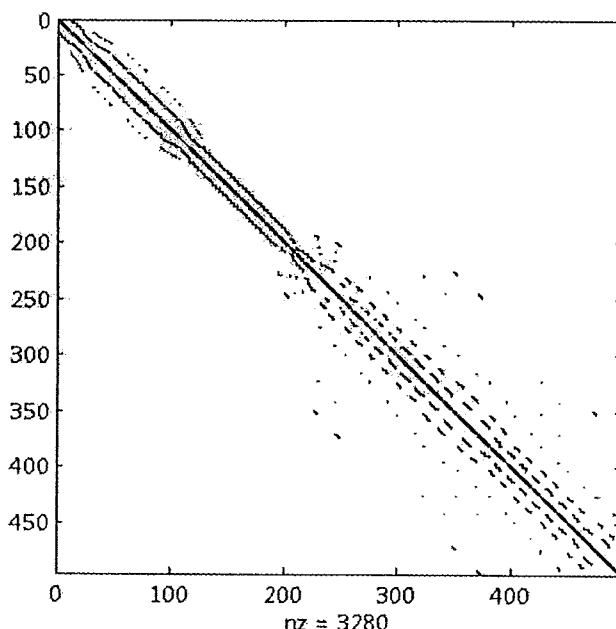
ถ้าลักษณะของปัญหาถูกแบ่งออกเป็นอิเลเมนท์อยู่ n โนด จะก่อให้เกิดระบบสมการรวมซึ่งประกอบด้วยสมการข่ายทั้งสิ้น n สมการ เมื่อทำสำเร็จจะได้ลักษณะการวางตัวของสมาชิกที่มีค่าไม่เป็นศูนย์ของระบบสมการรวมดังรูปที่ 5.12

5.3.5 กำหนดเงื่อนไขค่าขอบเขต

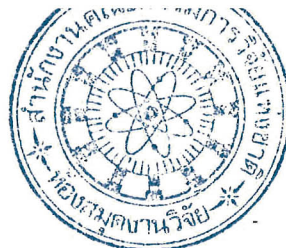
ขั้นตอนส่วนนี้จะทำหน้าที่ประยุกต์เงื่อนไขของเขตก่อนทำการแก้ระบบสมการรวม โดยมีหลักการ คือ ดัดแปลงระบบสมการรวมตามสมการที่ (4-12) ให้สอดคล้องกับค่าเงื่อนไขของเขต โดยงานวิจัยนี้จะกำหนดค่าเงื่อนไขของเขตของตัวนำสายส่งในรูปของสนามไฟฟ้าทั้งกรณี 1 เพสและ 3 เพส กับโทรศัพท์มือถือที่มีการกระจายค่าสนามไฟฟ้าคงที่โดยรอบขนาด $10 \times 20 \text{ cm}^2$ (nokia3210) ดังรูปที่ 4.6(a) ในบทที่ 4 ซึ่งสามารถสรุปรายละเอียดการกำหนดเงื่อนไขค่าขอบเขตของระบบไฟฟ้าขนาดต่าง ๆ ตามหัวข้อที่ 5.2.5 ที่ผ่านมาข้างต้น

5.3.6 แก้ระบบสมการรวมเพื่อหาผลเฉลย

ขั้นตอนสุดท้ายส่วนนี้จะทำหน้าที่แก้สมการเชิงเส้นเพื่อหาค่าผลเฉลยของระบบสมการรวม โดยการเลือกใช้ระเบียบวิธีการทำแมทริกซ์ผกผัน เนื่องจากแมทริกซ์มีลักษณะสมมาตร และค่าดีเทอร์มิแนตของแมทริกซ์ระบบสมการรวมไม่เป็นศูนย์จึงสามารถคำนวณหาค่าผลเฉลยด้วยวิธีนี้ได้ดังสมการที่ (4-17) ตามบทที่ 4 ในทำนองเดียวกับระเบียบวิธีไฟโนท์คิฟเฟอร์เรนท์



รูปที่ 5.12 ลักษณะการวางตัวของสมาชิกภายในแมทริกซ์ของระบบสมการรวม



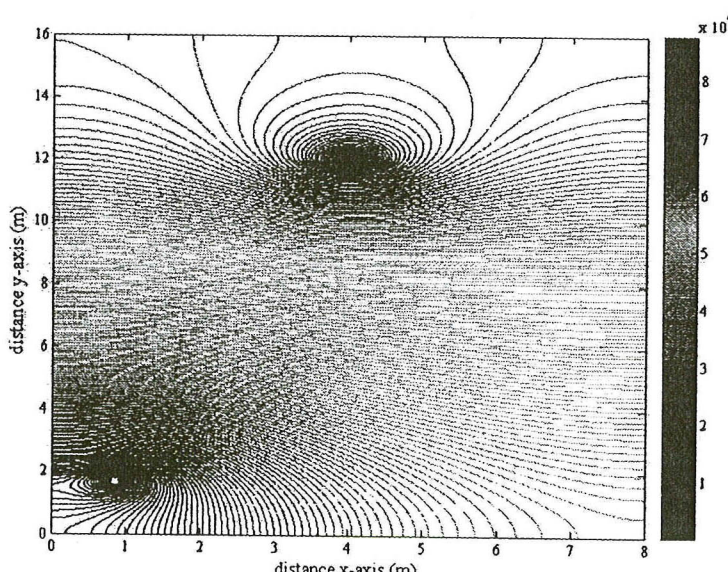
หลังจากทราบขั้นตอนและหลักการทำงานของโปรแกรมระเบี่ยบวิธีไฟไนท์ดิฟเฟอร์เรนท์ และระเบี่ยบวิธีไฟไนท์อิลิเมนท์ ต่อไปจะนำเสนอการจำลองผลค่าสนามไฟฟ้าจากระเบี่ยบวิธีทั้ง 2 วิธี โดยทำการจำลองผลของระบบสายส่งไฟฟ้า 1 เฟส ขนาด 220 V 22 kV และ 69 kV ส่วนระบบไฟฟ้า 3 เฟสจะประกอบไปด้วยระบบไฟฟ้าขนาด 69 kV 115 kV 230 kV และ 500 kV นอกจากนี้ในการจำลองผลของระบบแต่ละขนาดทั้งกรณี 1 เฟส และ 3 เฟส ยังทำการเลื่อนตำแหน่งของมนุษย์ ณ ขณะใช้งานโทรศัพท์มือถือในการสื่อสาร เพื่อให้เห็นถึงผลกระทบจากการกระจายค่าสนามไฟฟ้าที่เปลี่ยนแปลงไปเมื่อมีการเลื่อนตำแหน่งของมนุษย์

5.4 ผลการจำลองด้วยระเบี่ยบวิธีไฟไนท์ดิฟเฟอร์เรนท์

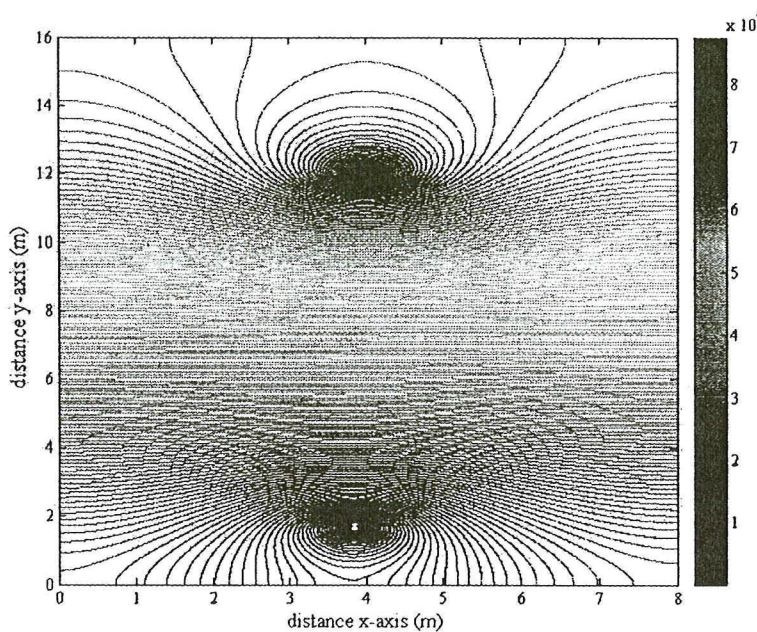
หัวข้อนี้จะนำเสนอผลการจำลองการกระจายค่าสนามไฟฟ้าของระบบสายส่งไฟฟ้า 1 เฟส ขนาด 69 kV ระบบไฟฟ้า 3 เฟสขนาด 230 kV และ 500 kV ที่เกิดจากการคำนวณด้วยระเบี่ยบวิธีไฟไนท์ดิฟเฟอร์เรนท์ โดยการจำลองผลของระบบแต่ละขนาดทั้งกรณี 1 เฟส และ 3 เฟส จะทำการเลื่อนตำแหน่งของมนุษย์ ณ ขณะใช้งานโทรศัพท์มือถือ 3 ตำแหน่งด้วยกัน เพื่อให้เห็นความแตกต่างของถูกผลกระทบจากการกระจายค่าสนามไฟฟ้าที่เปลี่ยนแปลงไป ซึ่งสามารถแสดงผลการจำลองค่าสนามไฟฟ้าของระบบสายส่งไฟฟ้า 1 เฟส และระบบสายส่งไฟฟ้า 3 เฟสตามหัวข้อต่อไปนี้

5.4.1 ระบบสายส่งไฟฟ้า 1 เฟส

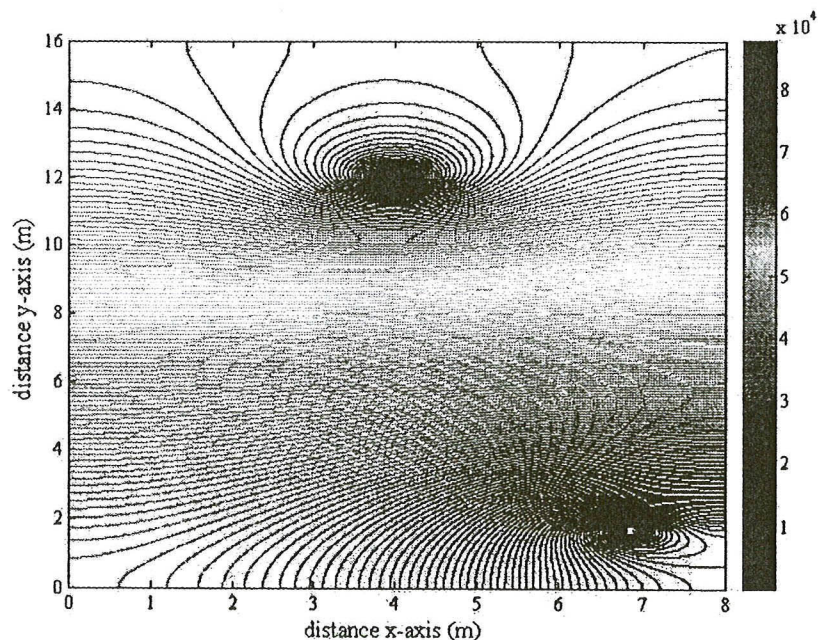
- ระบบสายส่งไฟฟ้า 1 เฟสขนาด 69 kV



รูปที่ 5.13 การกระจายค่าสนามไฟฟ้า (V/m) ของระบบสายส่งไฟฟ้า 1 เฟสขนาด 69 kV เมื่อมนุษย์ใช้งานโทรศัพท์มือถือ ณ ตำแหน่ง $x = 1\text{ m}$



รูปที่ 5.14 การกระจายค่าสนามไฟฟ้า (V/m) ของระบบสายส่งไฟฟ้า 1 เพลสนาด 69 kV
เมื่อมนุษย์ใช้งานโทรศัพท์มือถือ ณ ตำแหน่ง $x = 4 \text{ m}$



รูปที่ 5.15 การกระจายค่าสนามไฟฟ้า (V/m) ของระบบสายส่งไฟฟ้า 1 เพลสนาด 69 kV
เมื่อมนุษย์ใช้งานโทรศัพท์มือถือ ณ ตำแหน่ง $x = 7 \text{ m}$

5.4.2 ระบบสายส่งไฟฟ้า 3 เฟสสมดุล

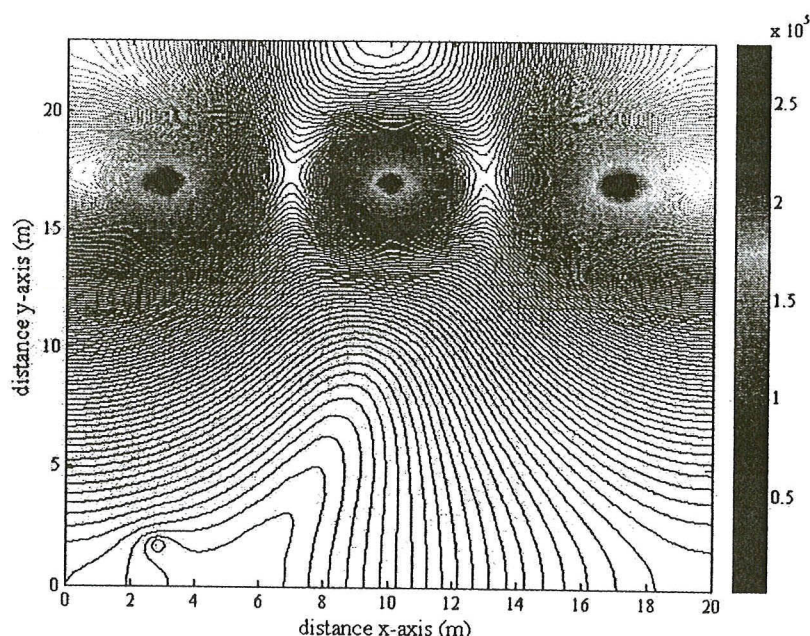
ระบบสายส่งไฟฟ้า 3 เฟสขนาด 230 kV เมื่อมนูญช์ใช้งานโทรศัพท์มือถือ ณ ตำแหน่งใด ๆ นั้น ได้ทำการพิจารณาลักษณะของระบบไฟฟ้า 3 เฟสสมดุลออกเป็น 3 กรณี คือ

$$\text{เมื่อ } V_A = 230\angle 0^\circ \text{ kV } V_B = 230\angle -120^\circ \text{ kV } V_C = 230\angle 120^\circ \text{ kV}$$

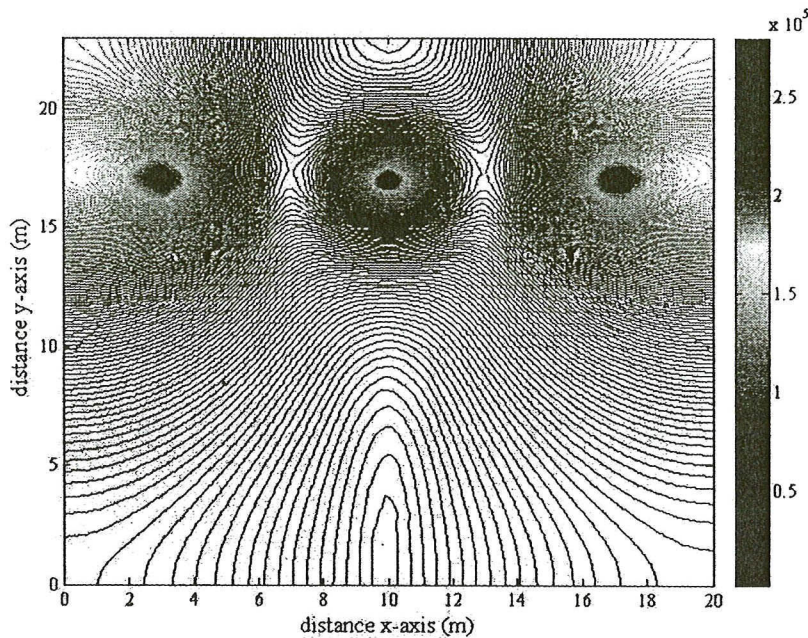
$$\text{เมื่อ } V_A = 230\angle 120^\circ \text{ kV } V_B = 230\angle 0^\circ \text{ kV } V_C = 230\angle -120^\circ \text{ kV}$$

$$\text{เมื่อ } V_A = 230\angle -120^\circ \text{ kV } V_B = 230\angle 120^\circ \text{ kV } V_C = 230\angle 0^\circ \text{ kV}$$

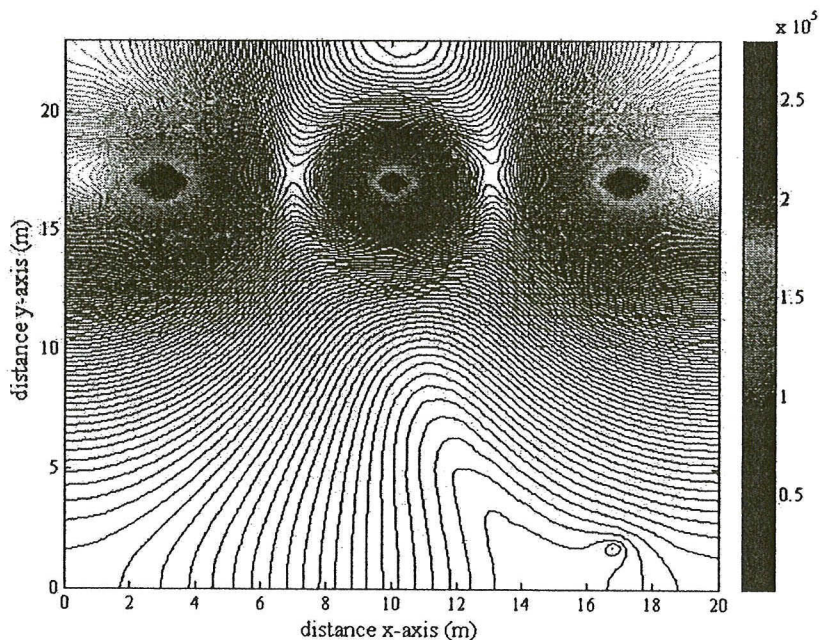
โดยลักษณะการกระจายค่าสนามไฟฟ้าและค่าสนามทัวร์ค่าสนามไฟฟ้าของระบบสายส่งไฟฟ้า 3 เฟสขนาด 230 kV ทั้ง 3 กรณี จะให้ลักษณะที่เหมือนกันในทุกกรณี แม้ว่าจะพิจารณาตำแหน่งที่มนูญช์ใช้งานโทรศัพท์มือถือ ณ ตำแหน่งใดก็ตาม โดยได้แสดงผลลัพธ์ในกรณีที่มนูญช์ใช้งานโทรศัพท์มือถือ ณ ตำแหน่ง $x = 3 \text{ m}$, 10 m และ 17 m ตามลำดับ พร้อมทั้งแสดงการเปรียบเทียบค่าสนามไฟฟ้านิเวณศีรษะมนูญช์จากการใช้งานโทรศัพท์มือถือ ณ ตำแหน่งดังกล่าว



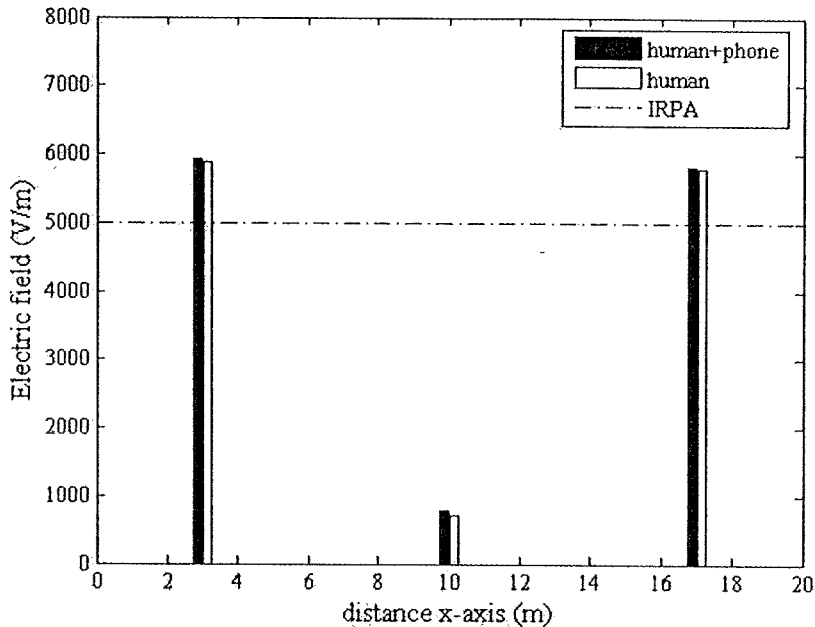
รูปที่ 5.16 การกระจายค่าสนามไฟฟ้า (V/m) ของระบบสายส่งไฟฟ้า 3 เฟสสมดุลขนาด 230 kV
ณ ตำแหน่ง $x = 3 \text{ m}$



รูปที่ 5.17 การกระจายค่าสนามไฟฟ้า (V/m) ของระบบสายส่งไฟฟ้า 3 เฟสสมดุลขนาด 230 kV
ณ ตำแหน่ง $x = 10$ m



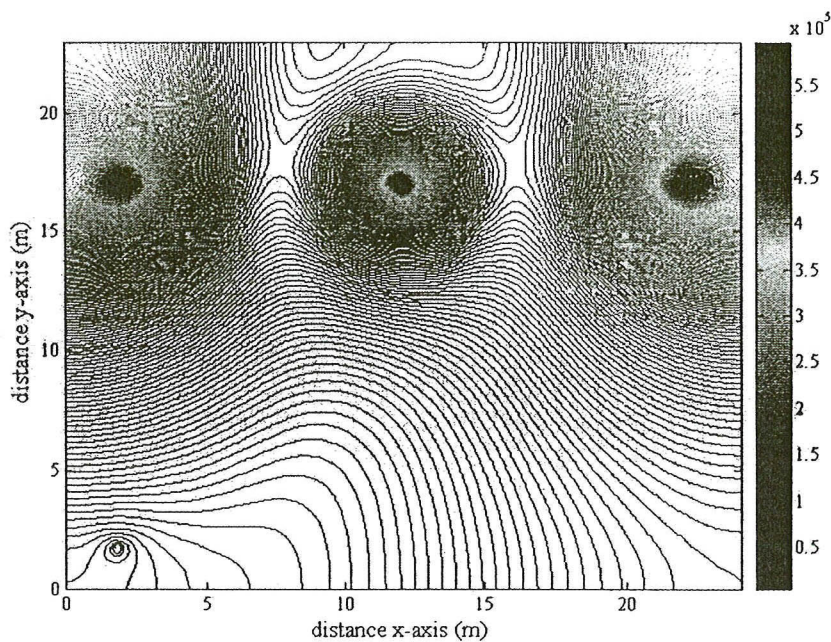
รูปที่ 5.18 การกระจายค่าสนามไฟฟ้า (V/m) ของระบบสายส่งไฟฟ้า 3 เฟสสมดุลขนาด 230 kV
ณ ตำแหน่ง $x = 17$ m



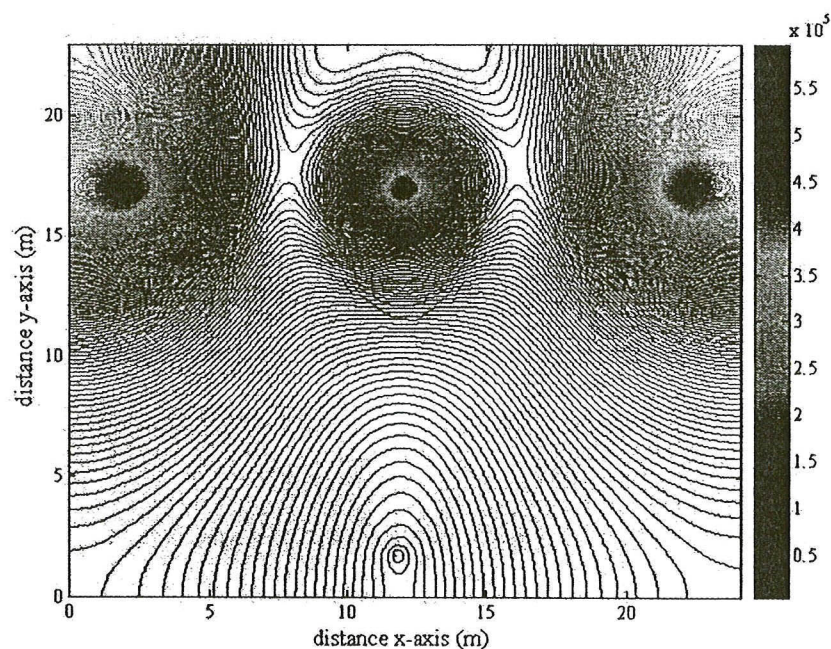
รูปที่ 5.19 เปรียบเทียบค่าสนามไฟฟ้า (V/m) บริเวณศีรษะมนุษย์จากการใช้งานโทรศัพท์มือถือ ณ ตำแหน่งต่าง ๆ ของระบบไฟฟ้า 3 เฟสสมดุลขนาด 230 kV

ระบบสายส่งไฟฟ้า 3 เฟสขนาด 500 kV เมื่อมนุษย์ใช้งานโทรศัพท์มือถือ ณ ตำแหน่งใด ๆ นั้น ได้ทำการพิจารณาลักษณะของระบบไฟฟ้า 3 เฟสสมดุลออกเป็น 3 กรณี คือ เมื่อ $V_A = 500\angle 0^\circ$ kV $V_B = 500\angle -120^\circ$ kV $V_C = 500\angle 120^\circ$ kV เมื่อ $V_A = 500\angle 120^\circ$ kV $V_B = 500\angle 0^\circ$ kV $V_C = 500\angle -120^\circ$ kV เมื่อ $V_A = 500\angle -120^\circ$ kV $V_B = 500\angle 120^\circ$ kV $V_C = 500\angle 0^\circ$ kV

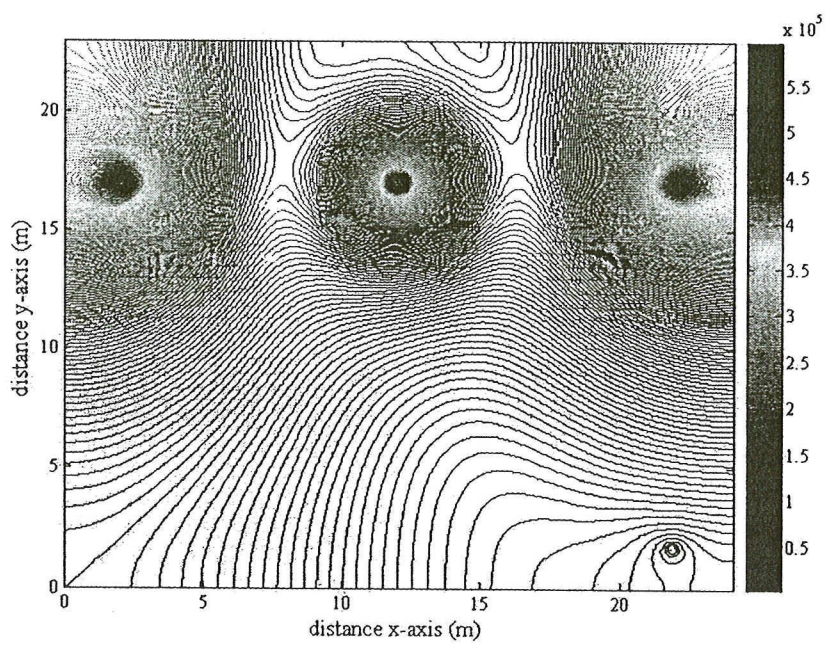
โดยลักษณะการกระจายค่าสนามไฟฟ้าและค่อนทัวร์ค่าสนามไฟฟ้าของระบบสายส่งไฟฟ้า 3 เฟสขนาด 500 kV ทั้ง 3 กรณี จะให้ลักษณะที่เหมือนกันในทุกรัฐ แม้ว่าจะพิจารณา ตำแหน่งที่มนุษย์ใช้งานโทรศัพท์มือถือ ณ ตำแหน่งใดก็ตาม โดยได้แสดงผลลัพธ์ในกรณีที่มนุษย์ใช้งานโทรศัพท์มือถือ ณ ตำแหน่ง $x = 2$ m, 12 m และ 22 m ตามลำดับ พร้อมทั้งแสดงการเปรียบเทียบค่าสนามไฟฟ้าบริเวณศีรษะมนุษย์จากการใช้งานโทรศัพท์มือถือ ณ ตำแหน่งดังกล่าว



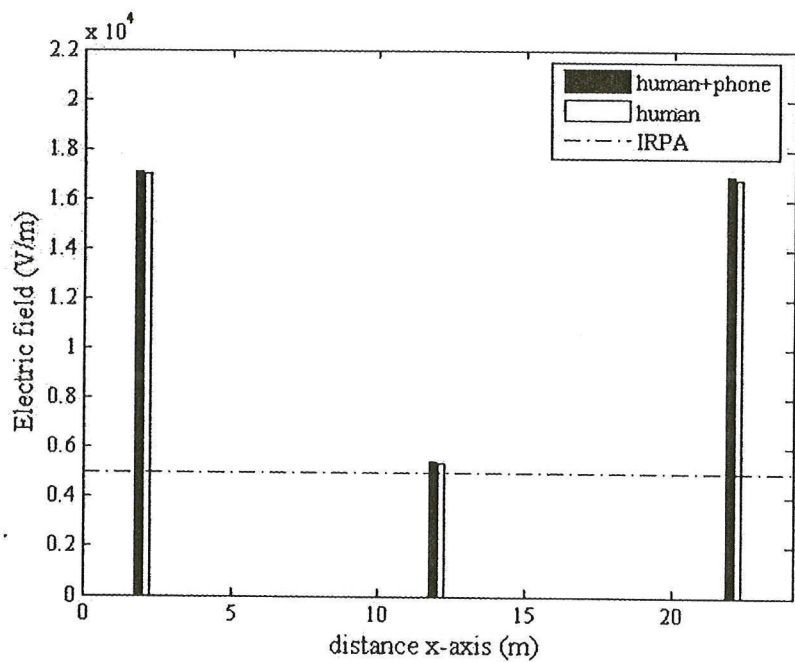
รูปที่ 5.20 การกระจายค่าสนามไฟฟ้า (V/m) ของระบบสายส่งไฟฟ้า 3 เฟสสมดุลขนาด 500 kV
ณ ตำแหน่ง $x = 2 \text{ m}$



รูปที่ 5.21 การกระจายค่าสนามไฟฟ้า (V/m) ของระบบสายส่งไฟฟ้า 3 เฟสสมดุลขนาด 500 kV
ณ ตำแหน่ง $x = 10 \text{ m}$



รูปที่ 5.22 การกระจายค่าสนามไฟฟ้า (V/m) ของระบบสายส่งไฟฟ้า 3 เฟสสามคุลขนาด 500 kV
ณ ตำแหน่ง $x = 22 \text{ m}$



รูปที่ 5.23 เปรียบเทียบค่าสนามไฟฟ้า (V/m) บริเวณศีรษะมนุษย์จากการใช้งานโทรศัพท์มือถือ
ณ ตำแหน่งต่าง ๆ ของระบบไฟฟ้า 3 เฟสสามคุลขนาด 500 kV

5.4.3 ระบบสายส่งไฟฟ้า 3 เฟสไม่สมดุล

สำหรับระบบไฟฟ้า 3 เฟสไม่สมดุลจะเลือกพิจารณาเฉพาะขนาด 230 kV เท่านั้น โดยจะแบ่งการจำลองผลออกเป็น 2 กรณี คือ กรณีขนาดไม่สมดุล กับ กรณีมุมเฟสไม่สมดุล ซึ่งแต่ละกรณีจะแยกการพิจารณาออกเป็น 3 แบบ เพื่อให้เห็นผลกระทบของสถานะไฟฟ้าที่เปลี่ยนแปลงไป อันเนื่องมาจากการไม่สมดุลที่เกิดจากขนาดและมุมเฟสของแรงดันภายในสายส่ง โดยมีรายละเอียดดังต่อไปนี้

กรณีขนาดไม่สมดุล ($\pm 10\%$ ของขนาดเฟสอ้างอิง) ประกอบด้วยการพิจารณา 3 แบบ คือ

แบบที่ 1 เมื่อ $V_A = 230\angle 0^\circ$ kV $V_B = 207\angle -120^\circ$ kV $V_C = 253\angle 120^\circ$ kV

แบบที่ 2 เมื่อ $V_A = 253\angle 0^\circ$ kV $V_B = 230\angle -120^\circ$ kV $V_C = 207\angle 120^\circ$ kV

แบบที่ 3 เมื่อ $V_A = 207\angle 0^\circ$ kV $V_B = 253\angle -120^\circ$ kV $V_C = 230\angle 120^\circ$ kV

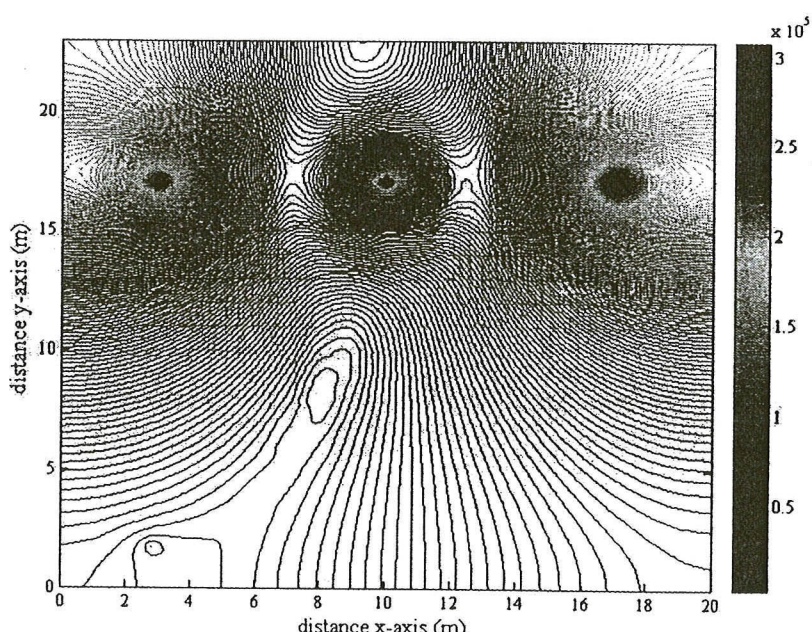
กรณีมุมเฟสไม่สมดุล ($\pm 30^\circ$ ของมุมเฟสอ้างอิง) ประกอบด้วยการพิจารณา 3 แบบ คือ

แบบที่ 1 เมื่อ $V_A = 230\angle 0^\circ$ kV $V_B = 230\angle -150^\circ$ kV $V_C = 230\angle 150^\circ$ kV

แบบที่ 2 เมื่อ $V_A = 230\angle 30^\circ$ kV $V_B = 230\angle -120^\circ$ kV $V_C = 230\angle 90^\circ$ kV

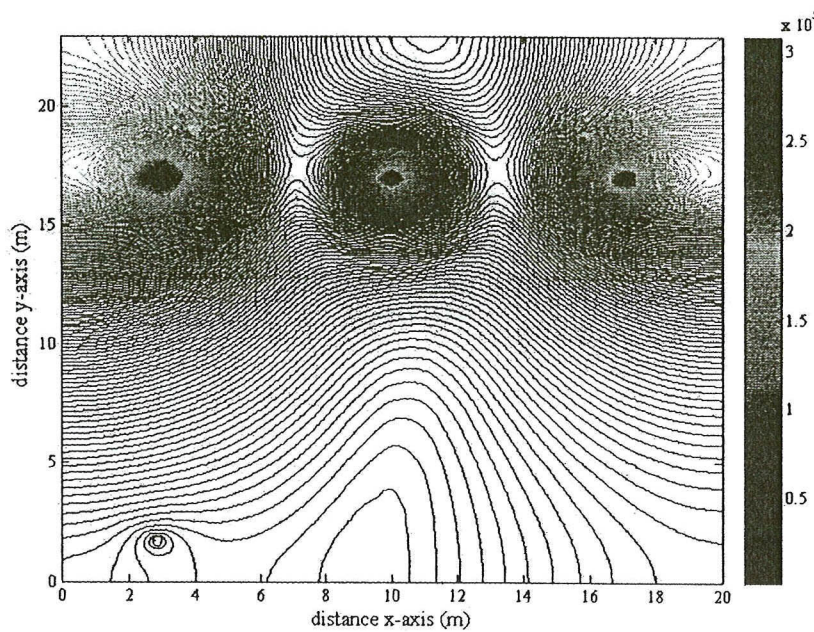
แบบที่ 3 เมื่อ $V_A = 230\angle -30^\circ$ kV $V_B = 230\angle -90^\circ$ kV $V_C = 230\angle 120^\circ$ kV

- กรณีขนาดไม่สมดุล ($\pm 10\%$ ของขนาดเฟสอ้างอิง)

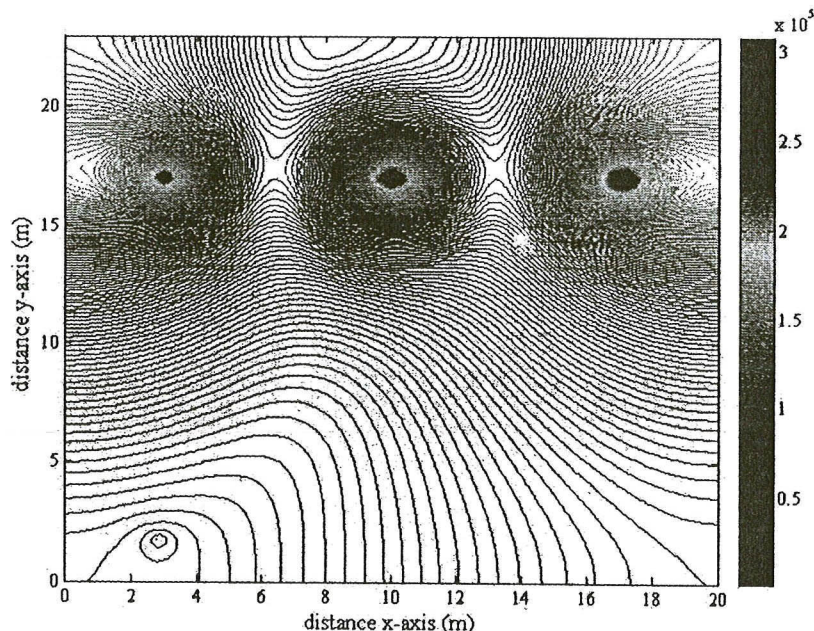


รูปที่ 5.24 การกระจายค่าสนามไฟฟ้า (V/m) ของระบบสายส่งไฟฟ้า 3 เฟสไม่สมดุล เมื่อ

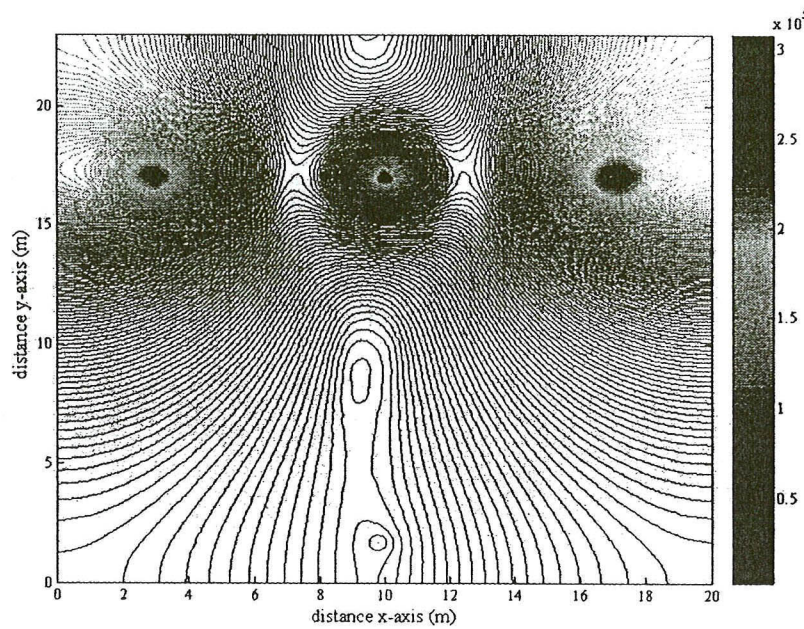
$$V_A = 230\angle 0^\circ \text{ kV } V_B = 207\angle -120^\circ \text{ kV } V_C = 253\angle 120^\circ \text{ kV} \text{ ณ ตำแหน่ง } x=3 \text{ m}$$



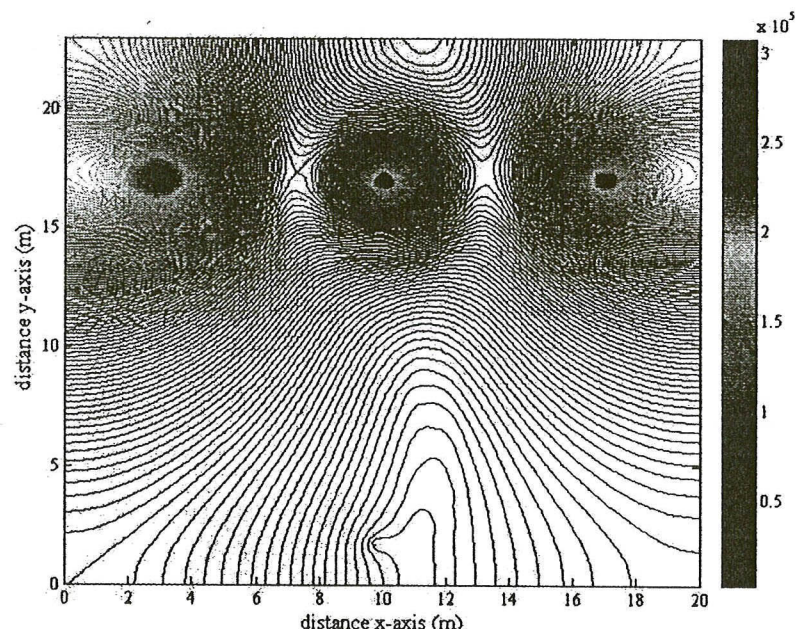
รูปที่ 5.25 การกระจายค่าสนามไฟฟ้า (V/m) ของระบบสายส่งไฟฟ้า 3 เฟส ไม่สมดุล เมื่อ
 $V_A = 253\angle 0^\circ \text{ kV}$ $V_B = 230\angle -120^\circ \text{ kV}$ $V_C = 207\angle 120^\circ \text{ kV}$ ณ ตำแหน่ง $x = 3 \text{ m}$



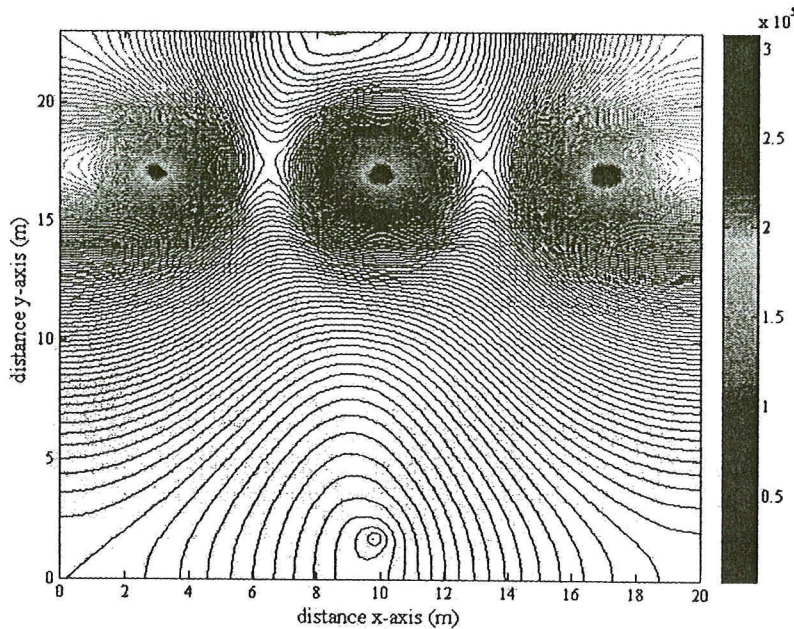
รูปที่ 5.26 การกระจายค่าสนามไฟฟ้า (V/m) ของระบบสายส่งไฟฟ้า 3 เฟส ไม่สมดุล เมื่อ
 $V_A = 207\angle 0^\circ \text{ kV}$ $V_B = 253\angle -120^\circ \text{ kV}$ $V_C = 230\angle 120^\circ \text{ kV}$ ณ ตำแหน่ง $x = 3 \text{ m}$



รูปที่ 5.27 การกระจายค่าสนามไฟฟ้า (V/m) ของระบบสายส่งไฟฟ้า 3 เฟสไม่สมดุล เมื่อ $V_A = 230\angle 0^\circ \text{ kV}$ $V_B = 207\angle -120^\circ \text{ kV}$ $V_C = 253\angle 120^\circ \text{ kV}$ ณ ตำแหน่ง $x = 10 \text{ m}$



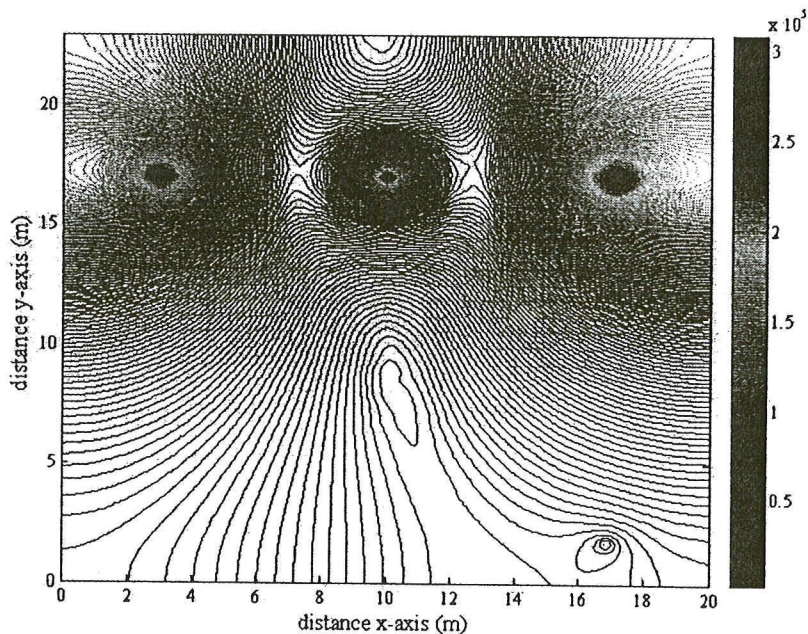
รูปที่ 5.28 การกระจายค่าสนามไฟฟ้า (V/m) ของระบบสายส่งไฟฟ้า 3 เฟสไม่สมดุล เมื่อ $V_A = 253\angle 0^\circ \text{ kV}$ $V_B = 230\angle -120^\circ \text{ kV}$ $V_C = 207\angle 120^\circ \text{ kV}$ ณ ตำแหน่ง $x = 10 \text{ m}$



รูปที่ 5.29 การกระจายค่าสนามไฟฟ้า (V/m) ของระบบสายส่งไฟฟ้า 3 เฟสไม่สมดุล เมื่อ

$$V_A = 207\angle 0^\circ \text{ kV} \quad V_B = 253\angle -120^\circ \text{ kV} \quad V_C = 230\angle 120^\circ \text{ kV}$$

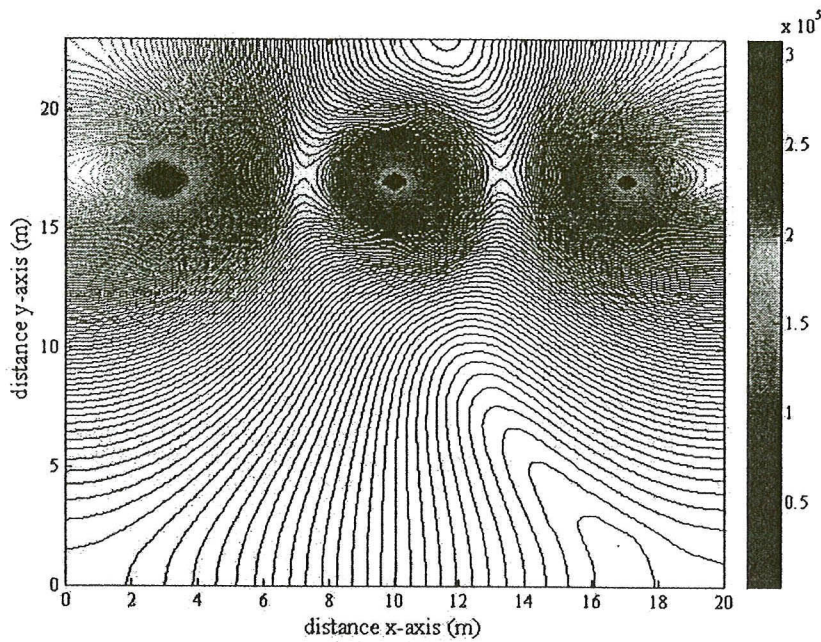
ณ ตำแหน่ง $x=10 \text{ m}$



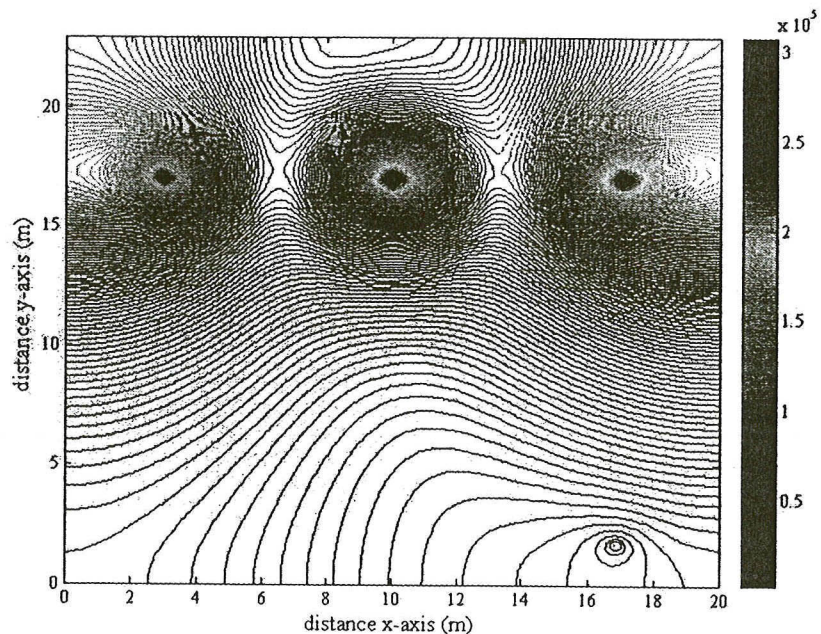
รูปที่ 5.30 การกระจายค่าสนามไฟฟ้า (V/m) ของระบบสายส่งไฟฟ้า 3 เฟสไม่สมดุล เมื่อ

$$V_A = 230\angle 0^\circ \text{ kV} \quad V_B = 207\angle -120^\circ \text{ kV} \quad V_C = 253\angle 120^\circ \text{ kV}$$

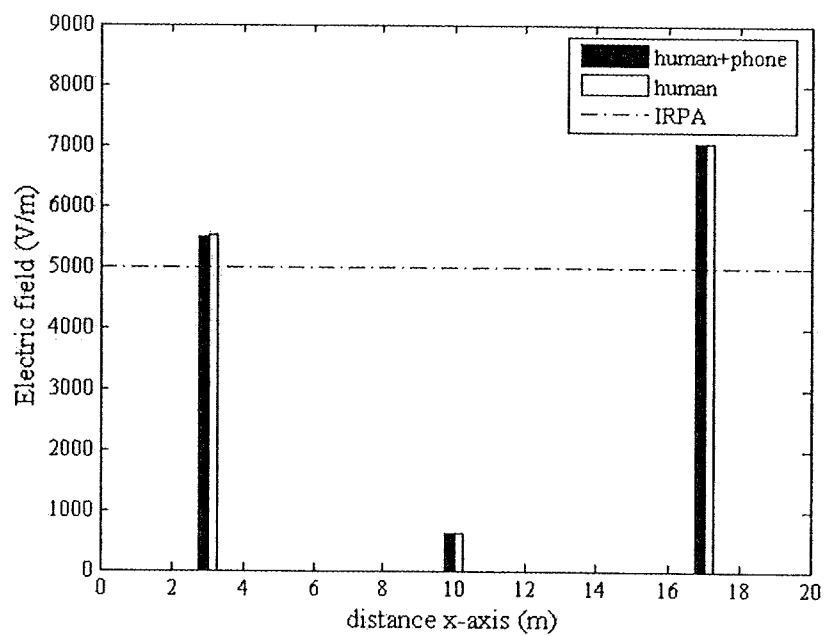
ณ ตำแหน่ง $x=17 \text{ m}$



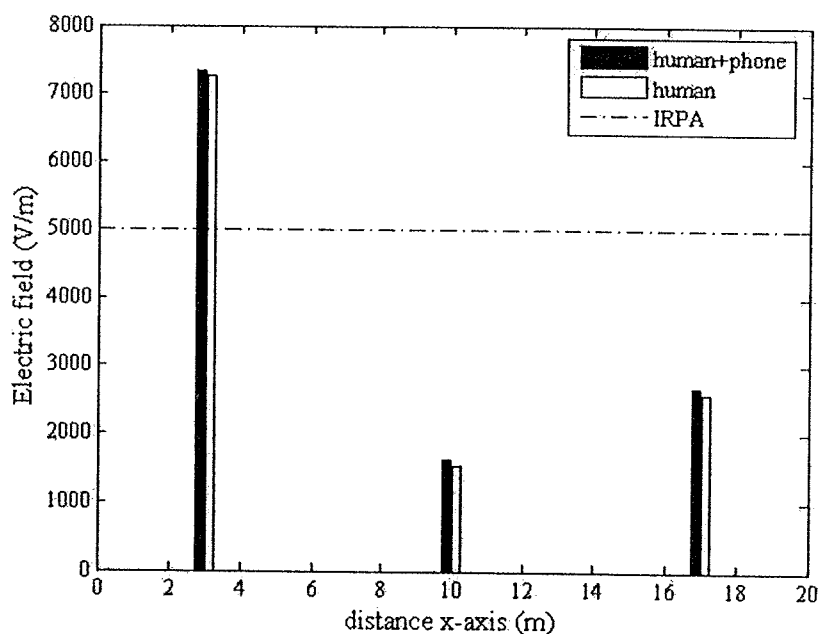
รูปที่ 5.31 การกระจายค่าสนามไฟฟ้า (V/m) ของระบบสายส่งไฟฟ้า 3 เฟส ไม่สมดุล เมื่อ
 $V_A = 253\angle 0^\circ \text{ kV}$ $V_B = 230\angle -120^\circ \text{ kV}$ $V_C = 207\angle 120^\circ \text{ kV}$ ณ ตำแหน่ง $x = 17 \text{ m}$



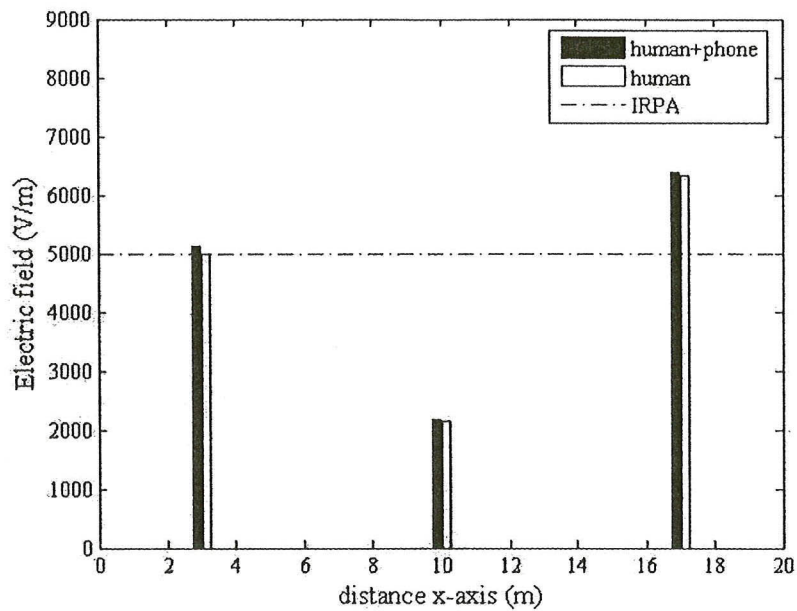
รูปที่ 5.32 การกระจายค่าสนามไฟฟ้า (V/m) ของระบบสายส่งไฟฟ้า 3 เฟส ไม่สมดุล เมื่อ
 $V_A = 207\angle 0^\circ \text{ kV}$ $V_B = 253\angle -120^\circ \text{ kV}$ $V_C = 230\angle 120^\circ \text{ kV}$ ณ ตำแหน่ง $x = 17 \text{ m}$



รูปที่ 5.33 เปรียบเทียบค่าสนามไฟฟ้า (V/m) บริเวณศีรษะมนุษย์จากการใช้งานโทรศัพท์มือถือ ณ ตำแหน่งต่าง ๆ ของระบบไฟฟ้า 3 เฟสไม่สมดุล (ขนาด) 230 kV แบบที่ 1

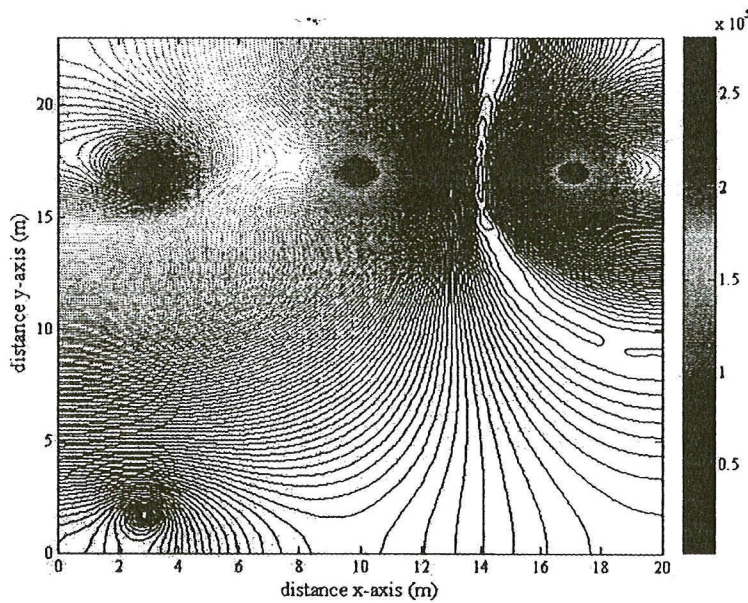


รูปที่ 5.34 เปรียบเทียบค่าสนามไฟฟ้า (V/m) บริเวณศีรษะมนุษย์จากการใช้งานโทรศัพท์มือถือ ณ ตำแหน่งต่าง ๆ ของระบบไฟฟ้า 3 เฟสไม่สมดุล (ขนาด) 230 kV แบบที่ 2

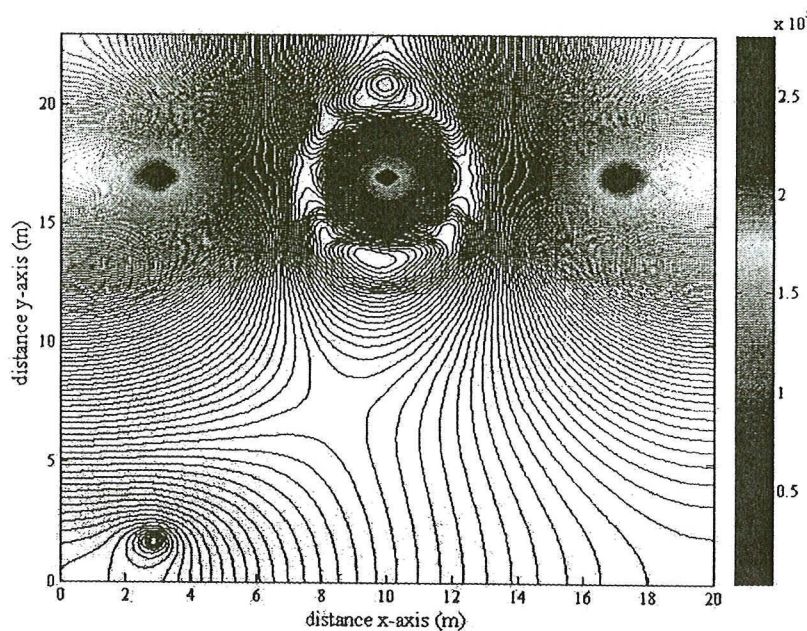


รูปที่ 5.35 เปรียบเทียบค่าสนามไฟฟ้า (V/m) บริเวณศีรษะมนุษย์จากการใช้งานโทรศัพท์มือถือ ณ ตำแหน่งต่าง ๆ ของระบบไฟฟ้า 3 เฟส ไม่สมดุล (ขนาด) 230 kV แบบที่ 3

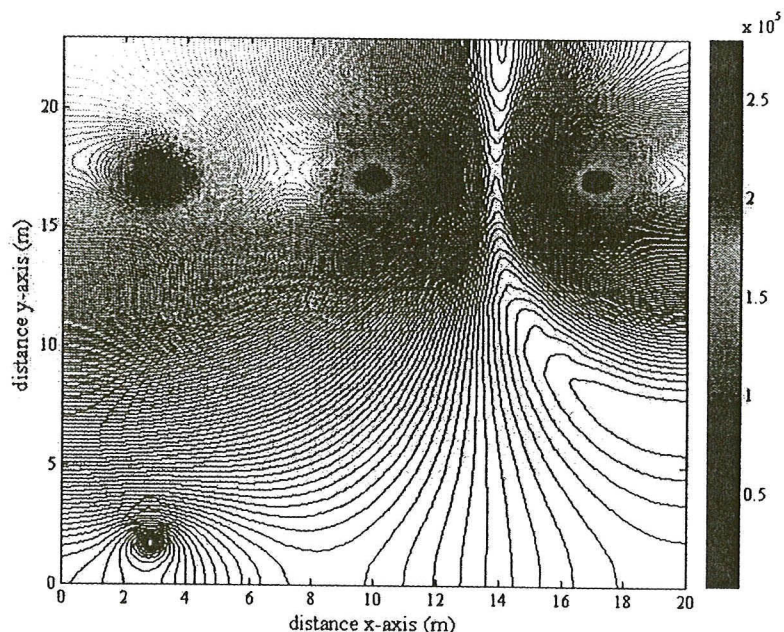
- กรณีมุมเฟสไม่สมดุล ($\pm 30^\circ$ ของมุมเฟสอ้างอิง)



รูปที่ 5.36 การกระจายค่าสนามไฟฟ้า (V/m) ของระบบสายส่งไฟฟ้า 3 เฟส ไม่สมดุล เมื่อ $V_A = 230\angle 0^\circ$ kV $V_B = 230\angle -150^\circ$ kV $V_C = 230\angle 150^\circ$ kV ณ ตำแหน่ง $x = 3$ m

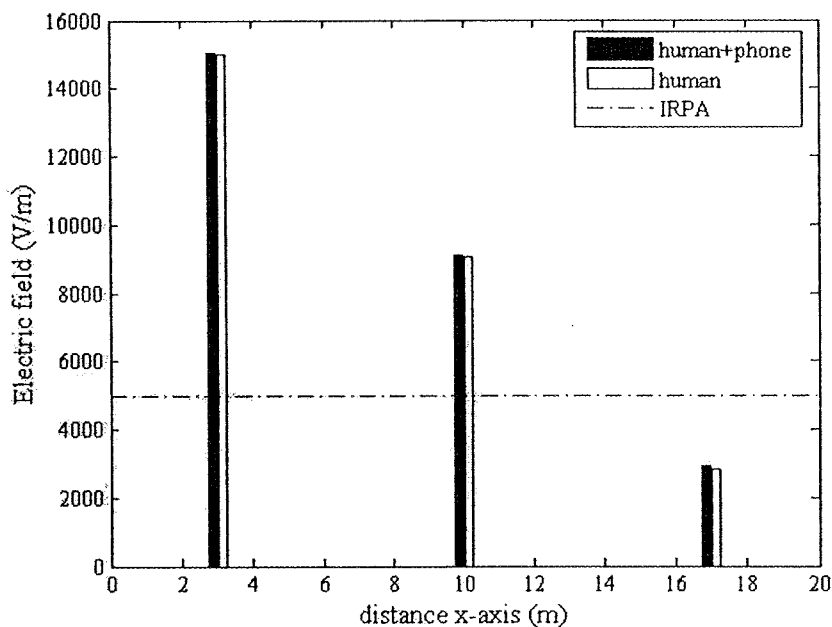


รูปที่ 5.37 การกระจายค่าสนามไฟฟ้า (V/m) ของระบบสายส่งไฟฟ้า 3 เฟส ไม่สมดุล เมื่อ
 $V_A = 230\angle 30^\circ$ kV $V_B = 230\angle -120^\circ$ kV $V_C = 230\angle 90^\circ$ kV ณ ตำแหน่ง $x=3$ m

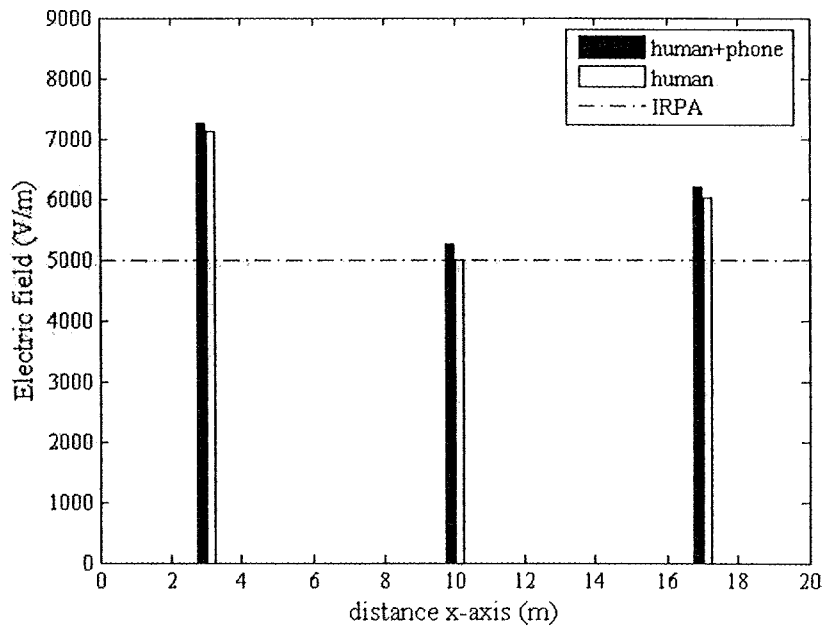


รูปที่ 5.38 การกระจายค่าสนามไฟฟ้า (V/m) ของระบบสายส่งไฟฟ้า 3 เฟส ไม่สมดุล เมื่อ
 $V_A = 230\angle -30^\circ$ kV $V_B = 230\angle -90^\circ$ kV $V_C = 230\angle 120^\circ$ kV ณ ตำแหน่ง $x=3$ m

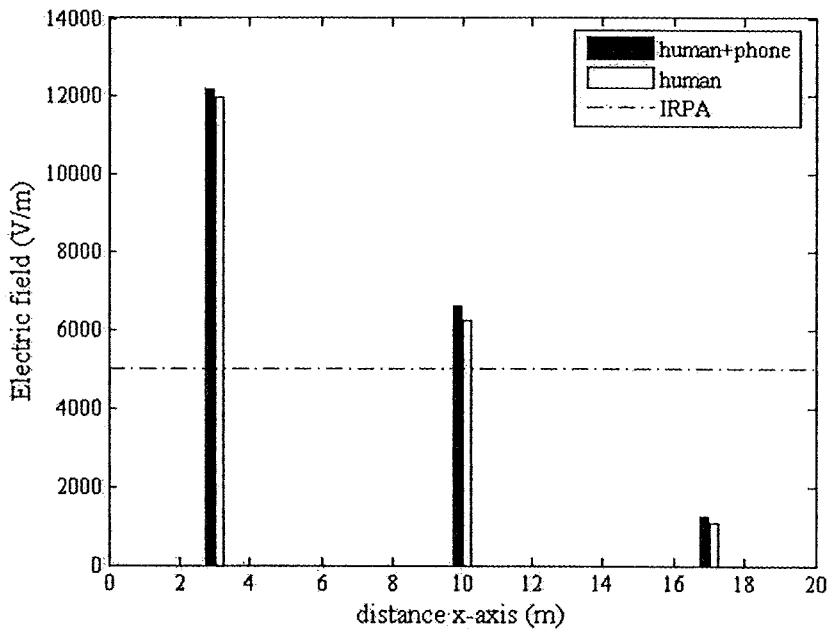
ส่วนการกระจายค่าสนามไฟฟ้าของระบบสายส่งไฟฟ้า 3 เฟสไม่สมดุล เมื่อมนุษย์ใช้งานโทรศัพท์มือถือ ณ ตำแหน่ง $x = 10$ m และ 17 m จะมีลักษณะการกระจายตัวคล้ายกันกับ เมื่อพิจารณา ณ ตำแหน่ง $x = 3$ m ที่ผ่านมาทุกประการ โดยจะมีความแตกต่างกันตรงขนาดเท่านั้น จึงไม่ขอนำเสนอในที่นี้ แต่ได้แสดงเปรียบเทียบค่าสนามไฟฟ้านับริเวณศีรษะมนุษย์จากการใช้งานโทรศัพท์มือถือ ณ ตำแหน่งดังกล่าว ได้ดังรูป



รูปที่ 5.39 เปรียบเทียบค่าสนามไฟฟ้า (V/m) บริเวณศีรษะมนุษย์จากการใช้งานโทรศัพท์มือถือ ณ ตำแหน่งต่าง ๆ ของระบบไฟฟ้า 3 เฟสไม่สมดุล (เฟส) 230 kV แบบที่ 1



รูปที่ 5.40 เปรียบเทียบค่าสนามไฟฟ้า (V/m) บริเวณศีรษะมนุษย์จากการใช้งานโทรศัพท์มือถือ ณ ตำแหน่งต่าง ๆ ของระบบไฟฟ้า 3 เฟส ไม่สมดุล (เฟส) 230 kV แบบที่ 2



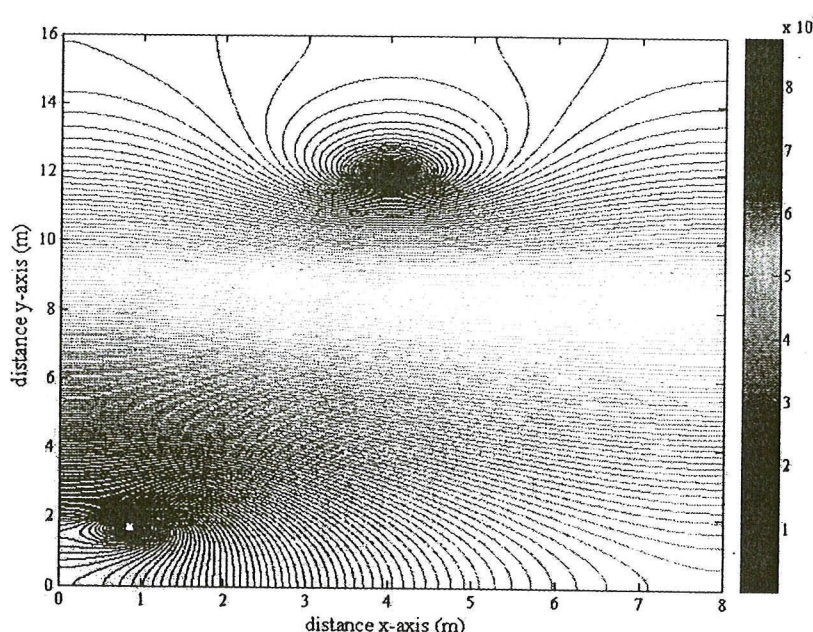
รูปที่ 5.41 เปรียบเทียบค่าสนามไฟฟ้า (V/m) บริเวณศีรษะมนุษย์จากการใช้งานโทรศัพท์มือถือ ณ ตำแหน่งต่าง ๆ ของระบบไฟฟ้า 3 เฟส ไม่สมดุล (เฟส) 230 kV แบบที่ 3

5.5 ผลการจำลองด้วยระบบเบียนวิธีไฟฟ้าในท่ออิเลมเนท

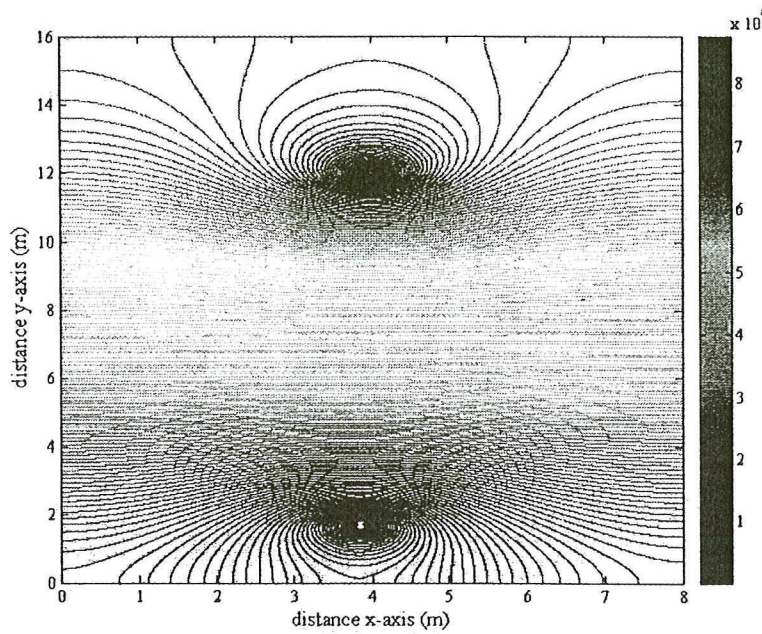
ในหัวข้อนี้เป็นการนำเสนอผลการจำลองการกระจายค่าสนามไฟฟ้าของระบบสายส่งไฟฟ้าด้วยระบบเบียนวิธีไฟฟ้าในท่ออิเลมเนท โดยจะทำการจำลองระบบสายส่งไฟฟ้าทั้งระบบ 1 เฟส และ 3 เฟส พร้อมทั้งทำการเลื่อนตำแหน่งของมนุษย์ ณ ขณะใช้งานโทรศัพท์มือถือ 3 ตำแหน่ง เมื่อมีนิรบ้านของเดียวกับการคำนวณค่าสนามไฟฟ้าด้วยระบบเบียนวิธีไฟฟ้าที่ดิฟเฟอร์เรนท์ที่ผ่านมา เพื่อให้เห็นความแตกต่างของลักษณะการกระจายค่าสนามไฟฟ้าที่เปลี่ยนแปลงไป ซึ่งสามารถแสดงผลการจำลองค่าสนามไฟฟ้าของระบบสายส่งไฟฟ้า 1 เฟส และระบบไฟฟ้า 3 เฟสตามหัวข้อต่อไปนี้

5.5.1 ระบบสายส่งไฟฟ้า 1 เฟส

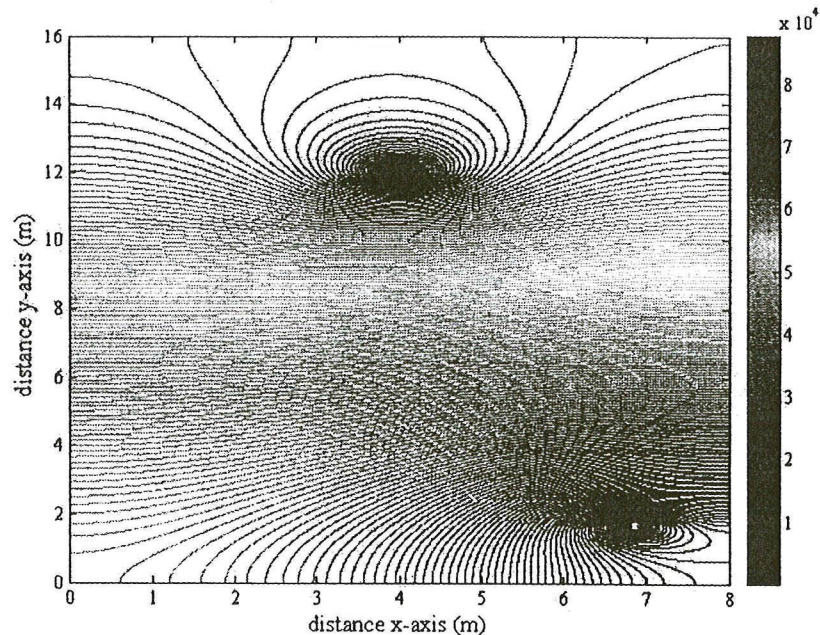
- ระบบสายส่งไฟฟ้า 1 เฟสขนาด 69 kV



รูปที่ 5.42 การกระจายค่าสนามไฟฟ้า (V/m) ของระบบสายส่งไฟฟ้า 1 เฟสขนาด 69 kV
เมื่อมนุษย์ใช้งานโทรศัพท์มือถือ ณ ตำแหน่ง $x = 1 \text{ m}$



รูปที่ 5.43 การกระจายค่าสนามไฟฟ้า (V/m) ของระบบสายส่งไฟฟ้า 1 เฟสขนาด 69 kV เมื่อมุ่ยไข้งานໂທรศพท์มีอถือ ณ ตำแหน่ง $x = 4 \text{ m}$



รูปที่ 5.44 การกระจายค่าสนามไฟฟ้า (V/m) ของระบบสายส่งไฟฟ้า 1 เฟสขนาด 69 kV เมื่อมุ่ยไข้งานໂທรศพท์มีอถือ ณ ตำแหน่ง $x = 7 \text{ m}$

5.5.2 ระบบสายส่งไฟฟ้า 3 เฟสสมดุล

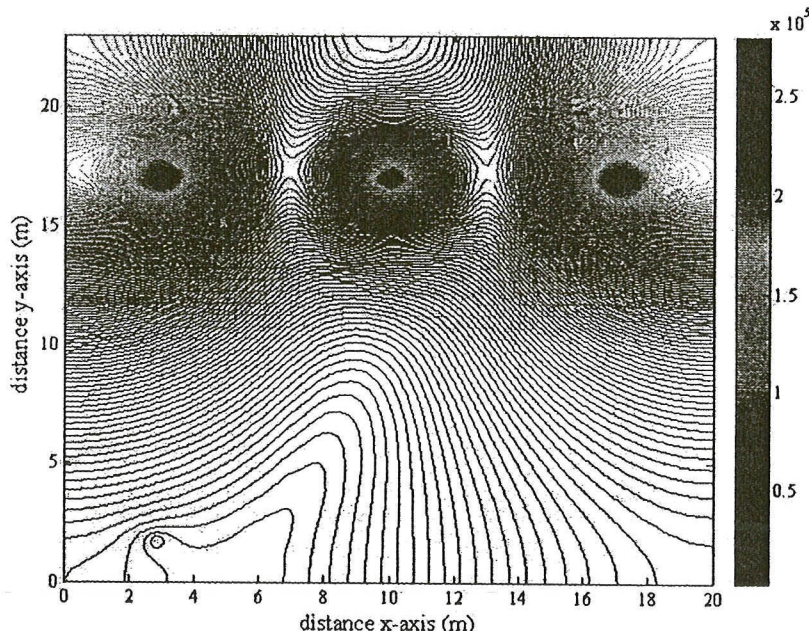
ระบบสายส่งไฟฟ้า 3 เฟสขนาด 230 kV เมื่อมนูญ์ใช้งานโตรศพที่มีอถือ ณ ตำแหน่งใด ๆ นั้น ได้ทำการพิจารณาลักษณะของระบบไฟฟ้า 3 เฟสสมดุลออกเป็น 3 กรณี คือ

$$\text{เมื่อ } V_A = 230\angle 0^\circ \text{ kV } V_B = 230\angle -120^\circ \text{ kV } V_C = 230\angle 120^\circ \text{ kV}$$

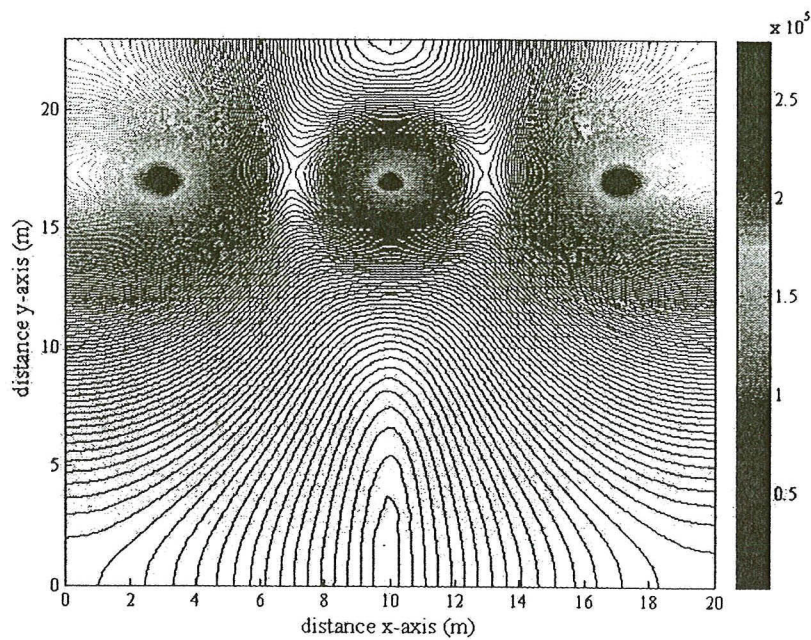
$$\text{เมื่อ } V_A = 230\angle 120^\circ \text{ kV } V_B = 230\angle 0^\circ \text{ kV } V_C = 230\angle -120^\circ \text{ kV}$$

$$\text{เมื่อ } V_A = 230\angle -120^\circ \text{ kV } V_B = 230\angle 120^\circ \text{ kV } V_C = 230\angle 0^\circ \text{ kV}$$

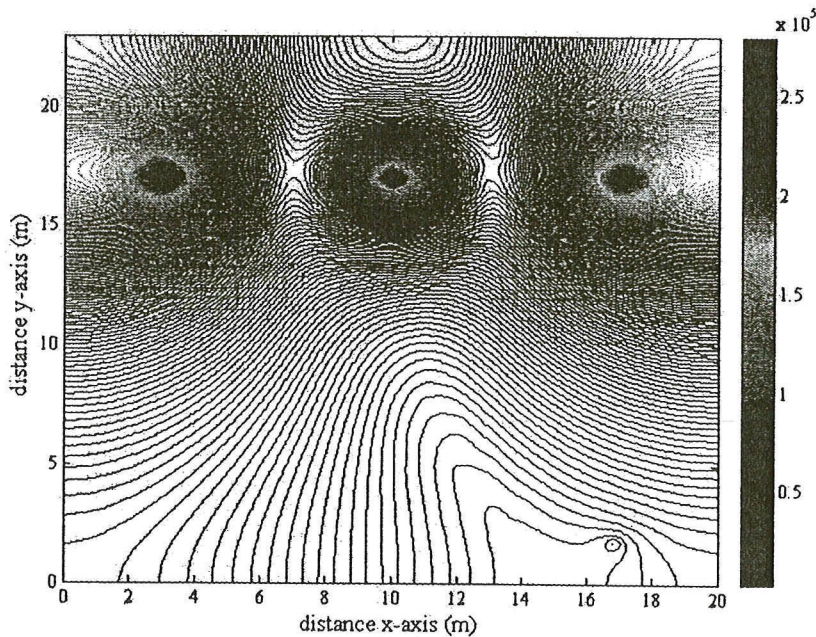
โดยลักษณะการกระจายค่าสนามไฟฟ้านอกจากอนหัวร์ค่าสนามไฟฟ้าของระบบสายส่งไฟฟ้า 3 เฟสขนาด 230 kV ทั้ง 3 กรณี จะให้ลักษณะที่เหมือนกันในทุกกรณี แม้ว่าจะพิจารณาตำแหน่งที่มนูญ์ใช้งานโตรศพที่มีอถือ ณ ตำแหน่งใดก็ตาม โดยได้แสดงผลลัพธ์ในกรณีที่มนูญ์ใช้งานโตรศพที่มีอถือ ณ ตำแหน่ง $x = 3 \text{ m}$, 10 m และ 17 m ตามลำดับ พร้อมทั้งแสดงการเปรียบเทียบค่าสนามไฟฟ้าบริเวณศีรษะมนูญ์จากการใช้งานโตรศพที่มีอถือ ณ ตำแหน่งดังกล่าว



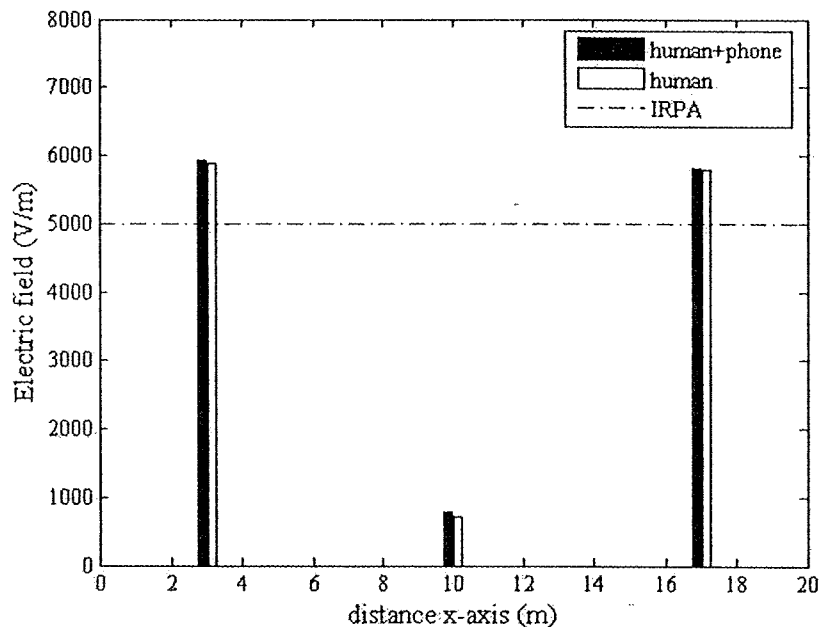
รูปที่ 5.45 การกระจายค่าสนามไฟฟ้า (V/m) ของระบบสายส่งไฟฟ้า 3 เฟสสมดุลขนาด 230 kV
ณ ตำแหน่ง $x = 3 \text{ m}$



รูปที่ 5.46 การกระจายค่าสนามไฟฟ้า (V/m) ของระบบสายส่งไฟฟ้า 3 เฟสสมดุลขนาด 230 kV
ณ ตำแหน่ง $x = 10$ m



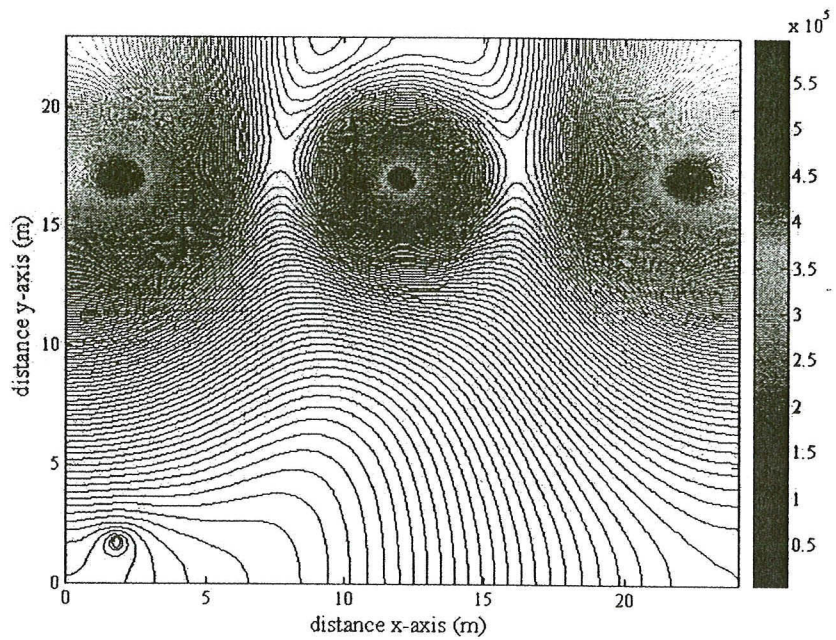
รูปที่ 5.47 การกระจายค่าสนามไฟฟ้า (V/m) ของระบบสายส่งไฟฟ้า 3 เฟสสมดุลขนาด 230 kV
ณ ตำแหน่ง $x = 17$ m



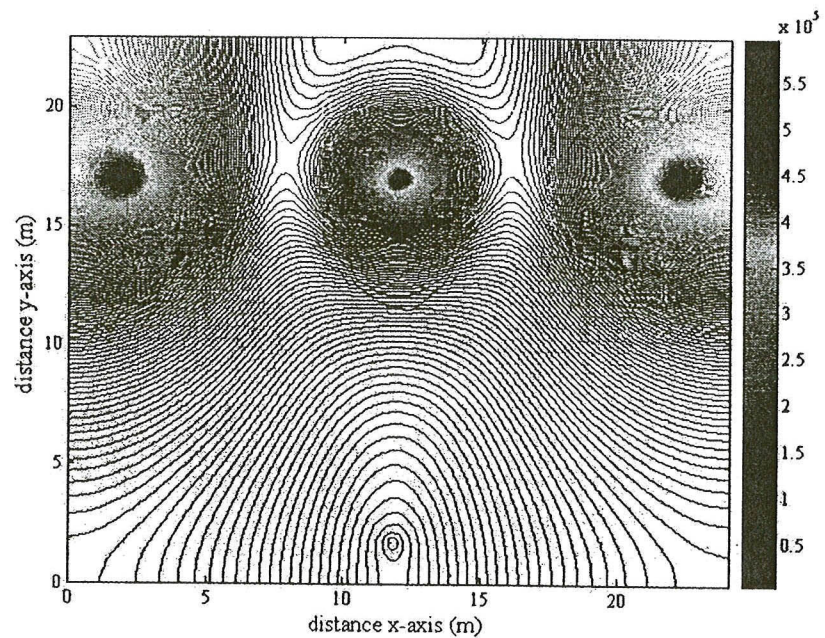
รูปที่ 5.48 เปรียบเทียบค่าสนามไฟฟ้า (V/m) บริเวณศีรษะมนุษย์จากการใช้งานโทรศัพท์มือถือ ณ ตำแหน่งต่าง ๆ ของระบบไฟฟ้า 3 เฟสสมดุลขนาด 230 kV

ระบบสายส่งไฟฟ้า 3 เฟสขนาด 500 kV เมื่อมนุษย์ใช้งานโทรศัพท์มือถือ ณ ตำแหน่งใด ๆ นั้น ได้ทำการพิจารณาลักษณะของระบบไฟฟ้า 3 เฟสสมดุลออกเป็น 3 กรณี คือ เมื่อ $V_A = 500\angle 0^\circ \text{ kV}$ $V_B = 500\angle -120^\circ \text{ kV}$ $V_C = 500\angle 120^\circ \text{ kV}$
 เมื่อ $V_A = 500\angle 120^\circ \text{ kV}$ $V_B = 500\angle 0^\circ \text{ kV}$ $V_C = 500\angle -120^\circ \text{ kV}$
 เมื่อ $V_A = 500\angle -120^\circ \text{ kV}$ $V_B = 500\angle 120^\circ \text{ kV}$ $V_C = 500\angle 0^\circ \text{ kV}$

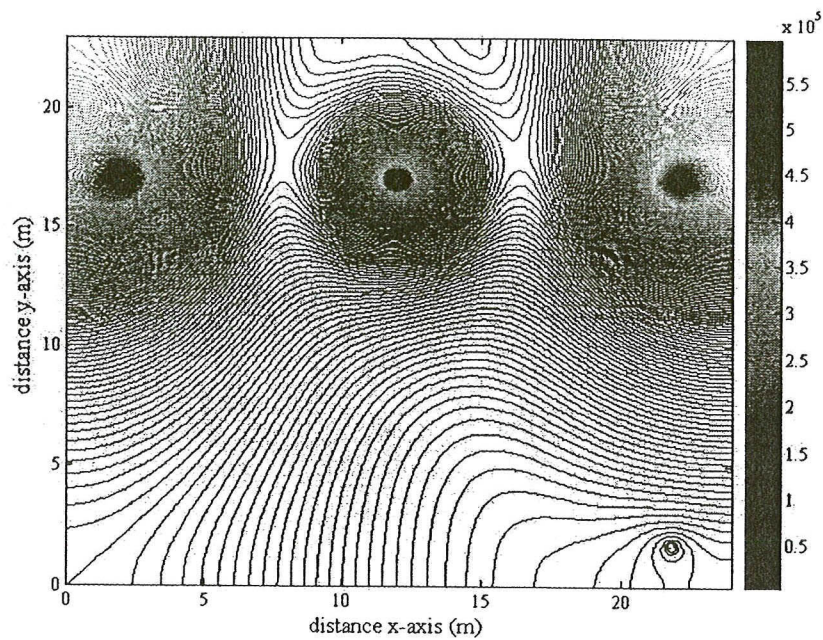
โดยลักษณะการกระจายค่าสนามไฟฟ้าและค่อนทัวร์ค่าสนามไฟฟ้าของระบบสายส่งไฟฟ้า 3 เฟสขนาด 500 kV ทั้ง 3 กรณี จะให้ลักษณะที่เหมือนกันในทุกรัฐ แม้ว่าจะพิจารณา ตำแหน่งที่มนุษย์ใช้งานโทรศัพท์มือถือ ณ ตำแหน่งใดก็ตาม โดยได้แสดงผลลัพธ์ในกรณีที่มนุษย์ใช้งานโทรศัพท์มือถือ ณ ตำแหน่ง $x = 2 \text{ m}$, 12 m และ 22 m ตามลำดับ พร้อมทั้งแสดงการเปรียบเทียบค่าสนามไฟฟ้าบริเวณศีรษะมนุษย์จากการใช้งานโทรศัพท์มือถือ ณ ตำแหน่งดังกล่าว



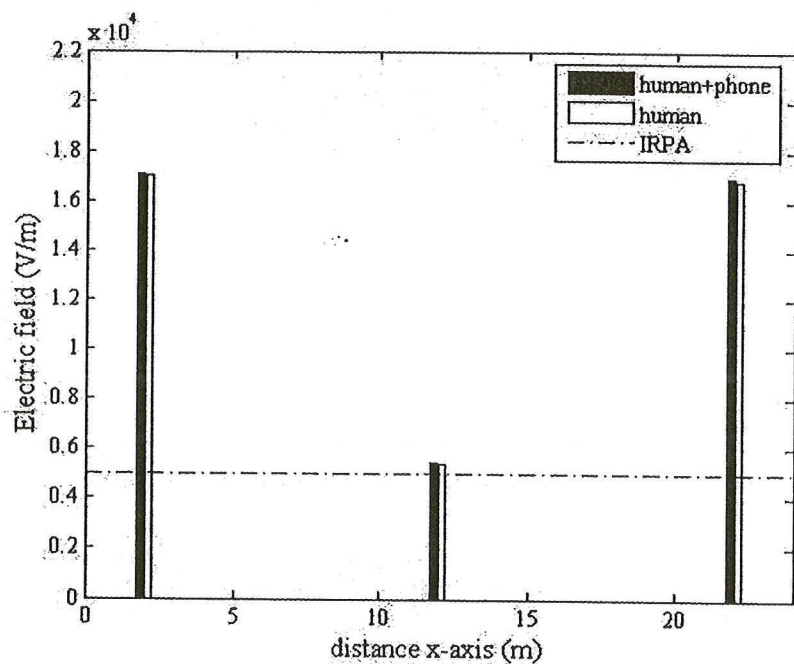
รูปที่ 5.49 การกระจายค่าสนามไฟฟ้า (V/m) ของระบบสายส่งไฟฟ้า 3 เฟสสมดุลขนาด 500 kV
ณ ตำแหน่ง $x = 2 \text{ m}$



รูปที่ 5.50 การกระจายค่าสนามไฟฟ้า (V/m) ของระบบสายส่งไฟฟ้า 3 เฟสสมดุลขนาด 500 kV
ณ ตำแหน่ง $x = 10 \text{ m}$



รูปที่ 5.51 การกระจายค่าสนามไฟฟ้า (V/m) ของระบบสายส่งไฟฟ้า 3 เฟสสมดุลขนาด 500 kV
ณ ตำแหน่ง $x = 22 \text{ m}$



รูปที่ 5.52 เมริบันเทียบค่าสนามไฟฟ้า (V/m) บริเวณศีรษะมน núย์จากการใช้งานโทรศัพท์มือถือ
ณ ตำแหน่งต่าง ๆ ของระบบไฟฟ้า 3 เฟสสมดุลขนาด 500 kV

5.5.3 ระบบสายส่งไฟฟ้า 3 เฟสไม่สมดุล

สำหรับระบบไฟฟ้า 3 เฟสไม่สมดุลจะเลือกพิจารณาเฉลี่ยขนาด 230 kV เท่านั้น โดยจะแบ่งการจำลองผลออกเป็น 2 กรณี คือ กรณีขนาดไม่สมดุล กับ กรณีมุมเฟสไม่สมดุล ซึ่งแต่ละกรณีจะแยกการพิจารณาออกเป็น 3 แบบ เพื่อให้เห็นผลผลกระทบของสถานะไฟฟ้าที่เปลี่ยนแปลงไป อันเนื่องมาจากการไม่สมดุลที่เกิดจากขนาดและมุมเฟสของแรงดันภายในสายส่ง โดยมีรายละเอียดดังต่อไปนี้

กรณีขนาดไม่สมดุล ($\pm 10\%$ ของขนาดเฟสอ้างอิง) ประกอบด้วยการพิจารณา 3 แบบ คือ

แบบที่ 1 เมื่อ $V_A = 230\angle 0^\circ$ kV $V_B = 207\angle -120^\circ$ kV $V_C = 253\angle 120^\circ$ kV

แบบที่ 2 เมื่อ $V_A = 253\angle 0^\circ$ kV $V_B = 230\angle -120^\circ$ kV $V_C = 207\angle 120^\circ$ kV

แบบที่ 3 เมื่อ $V_A = 207\angle 0^\circ$ kV $V_B = 253\angle -120^\circ$ kV $V_C = 230\angle 120^\circ$ kV

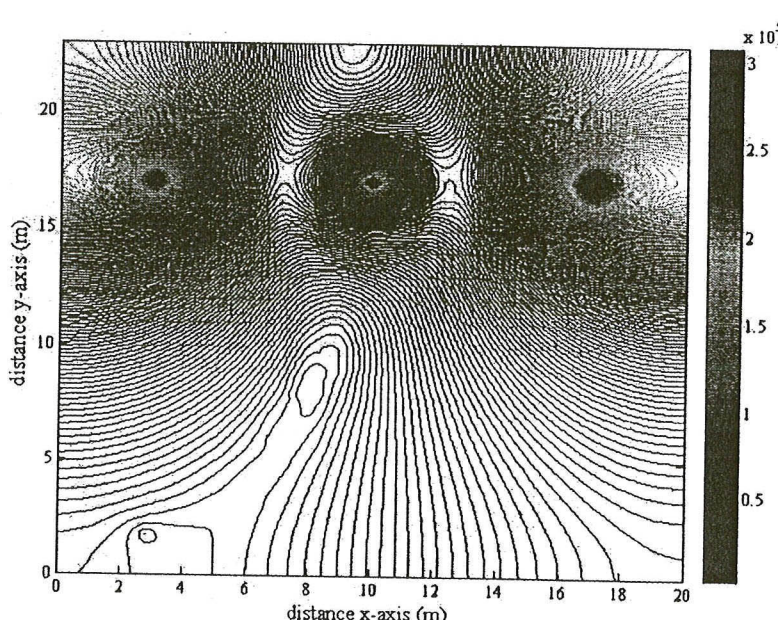
กรณีมุมเฟสไม่สมดุล ($\pm 30^\circ$ ของมุมเฟสอ้างอิง) ประกอบด้วยการพิจารณา 3 แบบ คือ

แบบที่ 1 เมื่อ $V_A = 230\angle 0^\circ$ kV $V_B = 230\angle -150^\circ$ kV $V_C = 230\angle 150^\circ$ kV

แบบที่ 2 เมื่อ $V_A = 230\angle 30^\circ$ kV $V_B = 230\angle -120^\circ$ kV $V_C = 230\angle 90^\circ$ kV

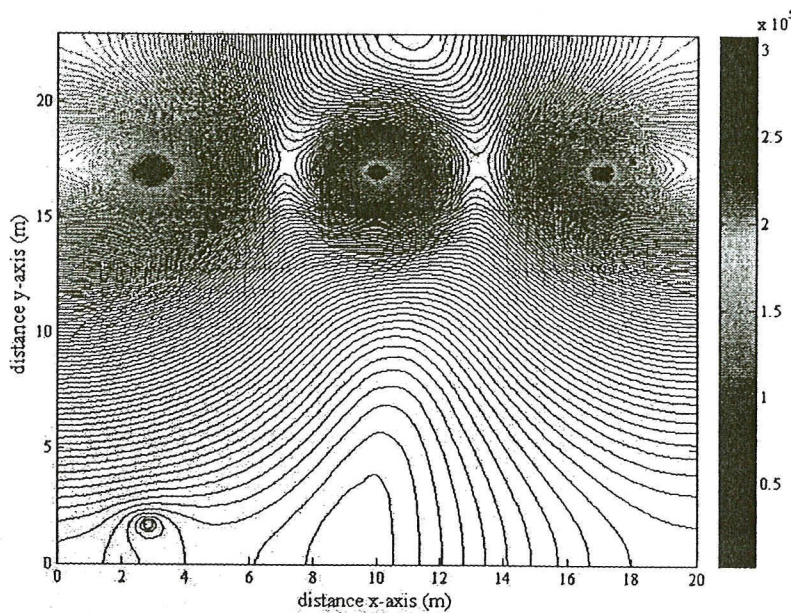
แบบที่ 3 เมื่อ $V_A = 230\angle -30^\circ$ kV $V_B = 230\angle -90^\circ$ kV $V_C = 230\angle 120^\circ$ kV

- กรณีขนาดไม่สมดุล ($\pm 10\%$ ของขนาดเฟสอ้างอิง)

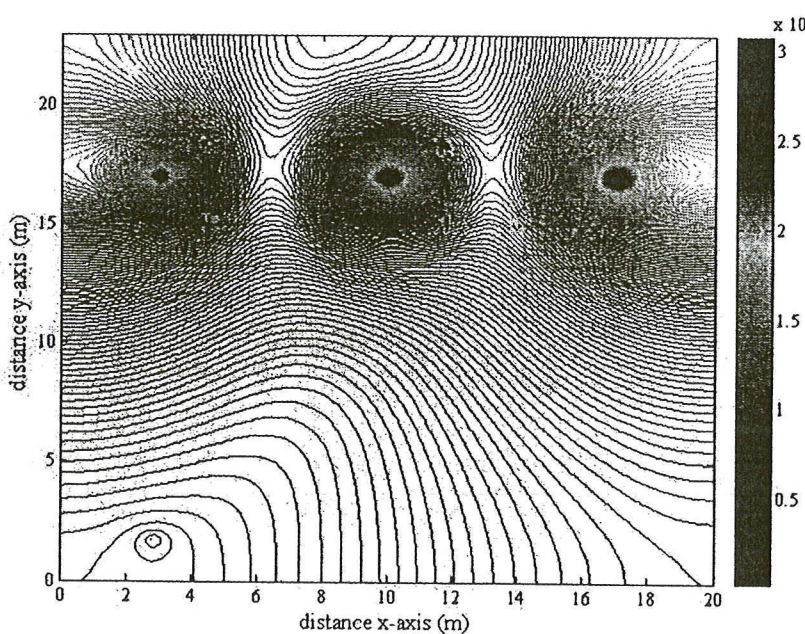


รูปที่ 5.53 การกระจายค่าสถานะไฟฟ้า (V/m) ของระบบสายส่งไฟฟ้า 3 เฟสไม่สมดุล เมื่อ

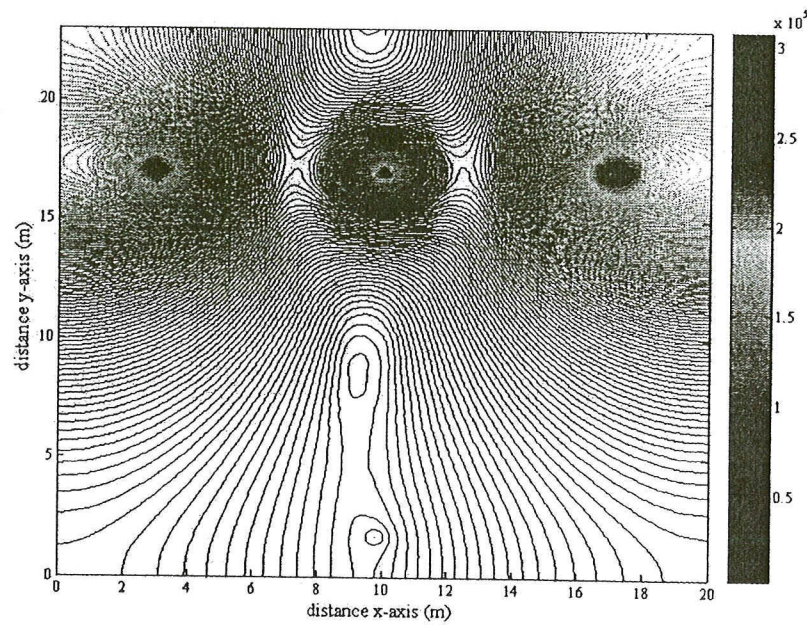
$$V_A = 230\angle 0^\circ \text{ kV } V_B = 207\angle -120^\circ \text{ kV } V_C = 253\angle 120^\circ \text{ kV}$$



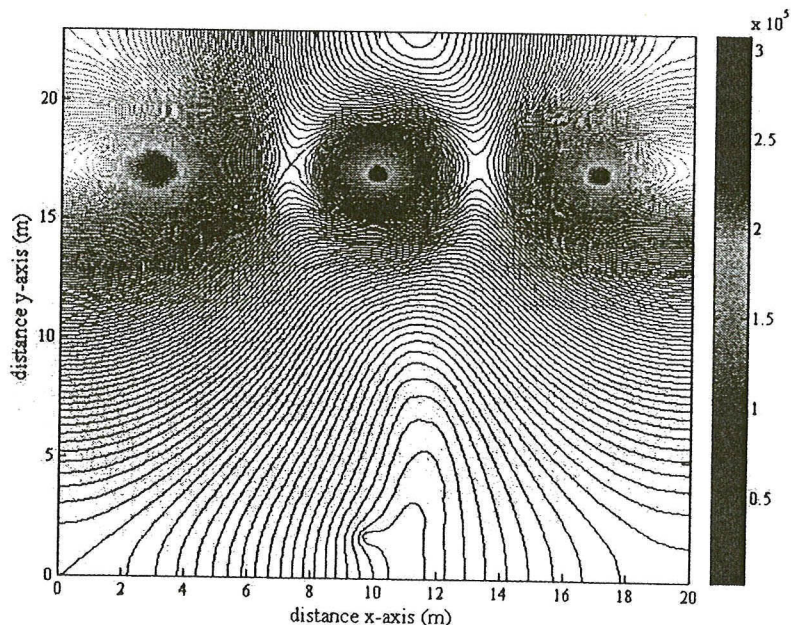
รูปที่ 5.54 การกระจายค่าสนามไฟฟ้า (V/m) ของระบบสายส่งไฟฟ้า 3 เฟสไม่สมดุล เมื่อ $V_A = 253\angle 0^\circ \text{ kV}$ $V_B = 230\angle -120^\circ \text{ kV}$ $V_C = 207\angle 120^\circ \text{ kV}$ ณ ตำแหน่ง $x=3 \text{ m}$



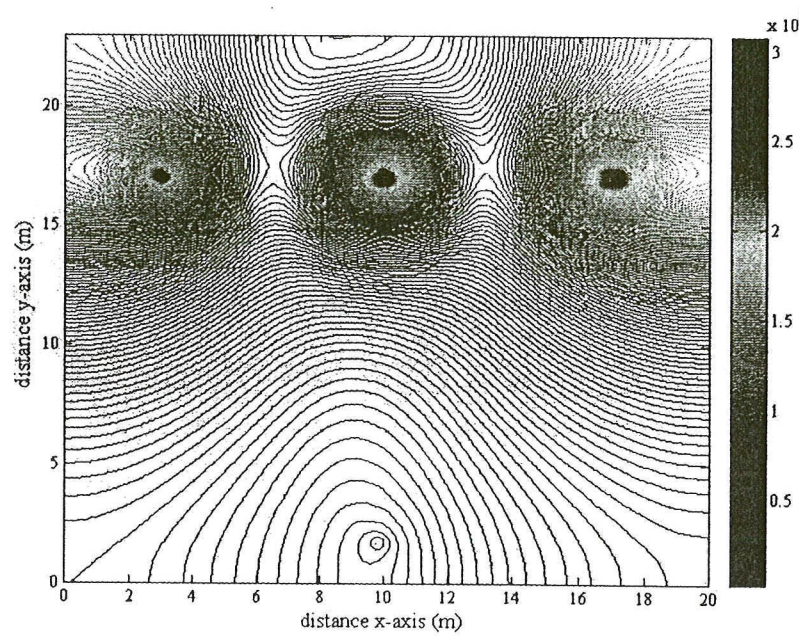
รูปที่ 5.55 การกระจายค่าสนามไฟฟ้า (V/m) ของระบบสายส่งไฟฟ้า 3 เฟสไม่สมดุล เมื่อ $V_A = 207\angle 0^\circ \text{ kV}$ $V_B = 253\angle -120^\circ \text{ kV}$ $V_C = 230\angle 120^\circ \text{ kV}$ ณ ตำแหน่ง $x=3 \text{ m}$



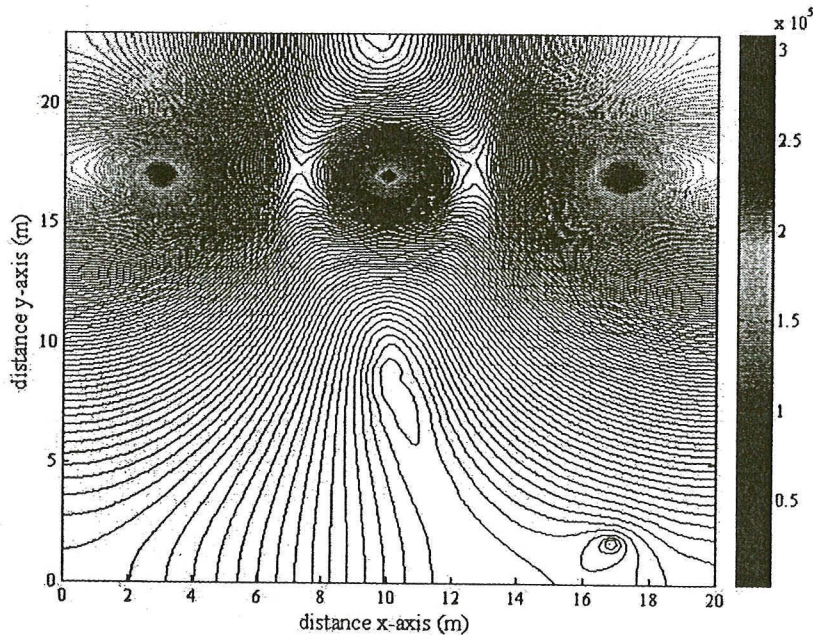
รูปที่ 5.56 การกระจายค่าสนามไฟฟ้า (V/m) ของระบบสายส่งไฟฟ้า 3 เฟสไม่สมดุล เมื่อ
 $V_A = 230\angle 0^\circ \text{ kV}$ $V_B = 207\angle -120^\circ \text{ kV}$ $V_C = 253\angle 120^\circ \text{ kV}$ ณ ตำแหน่ง $x = 10 \text{ m}$



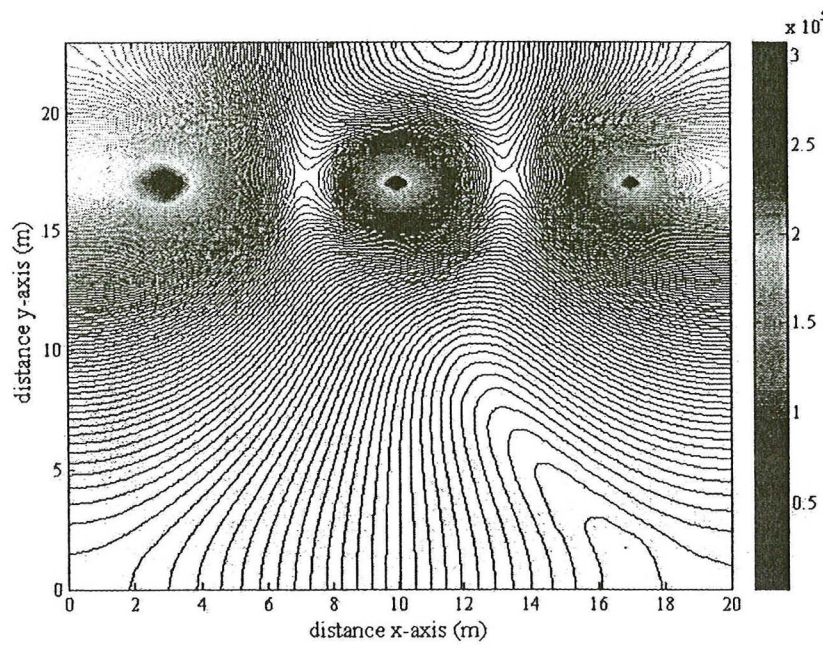
รูปที่ 5.57 การกระจายค่าสนามไฟฟ้า (V/m) ของระบบสายส่งไฟฟ้า 3 เฟสไม่สมดุล เมื่อ
 $V_A = 253\angle 0^\circ \text{ kV}$ $V_B = 230\angle -120^\circ \text{ kV}$ $V_C = 207\angle 120^\circ \text{ kV}$ ณ ตำแหน่ง $x = 10 \text{ m}$



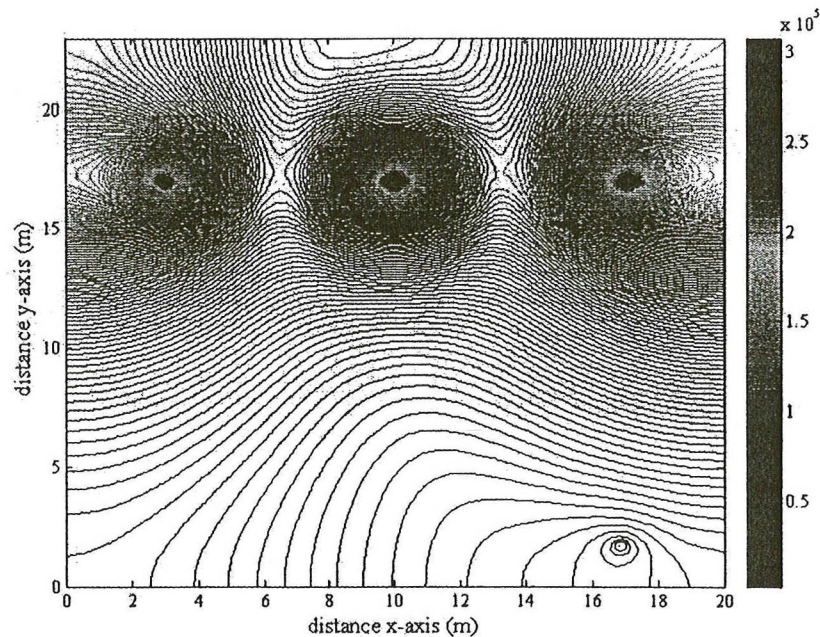
รูปที่ 5.58 การกระจายค่าสนามไฟฟ้า (V/m) ของระบบสายสั่งไฟฟ้า 3 เฟสไม่สมดุล เมื่อ $V_A = 207\angle 0^\circ \text{ kV}$ $V_B = 253\angle -120^\circ \text{ kV}$ $V_C = 230\angle 120^\circ \text{ kV}$ ณ ตำแหน่ง $x = 10 \text{ m}$



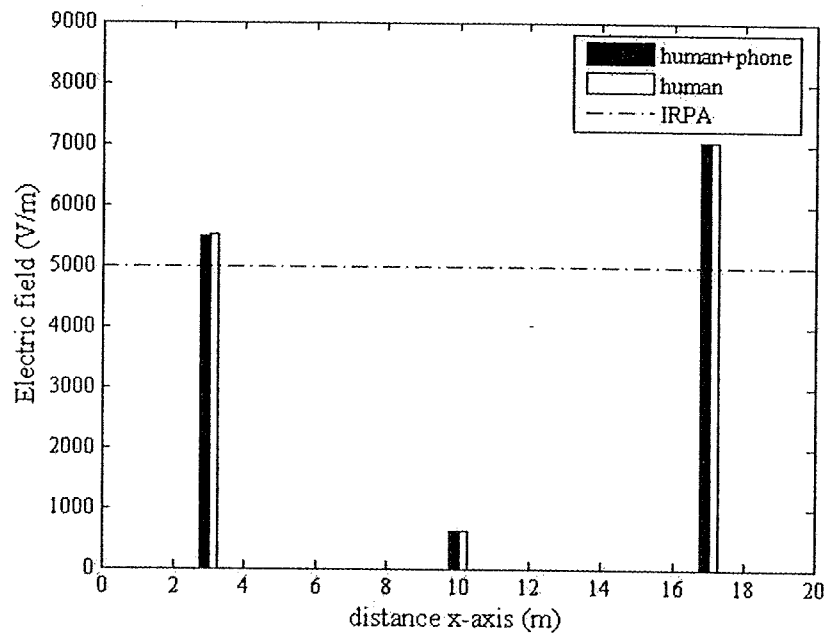
รูปที่ 5.59 การกระจายค่าสนามไฟฟ้า (V/m) ของระบบสายสั่งไฟฟ้า 3 เฟสไม่สมดุล เมื่อ $V_A = 230\angle 0^\circ \text{ kV}$ $V_B = 207\angle -120^\circ \text{ kV}$ $V_C = 253\angle 120^\circ \text{ kV}$ ณ ตำแหน่ง $x = 17 \text{ m}$



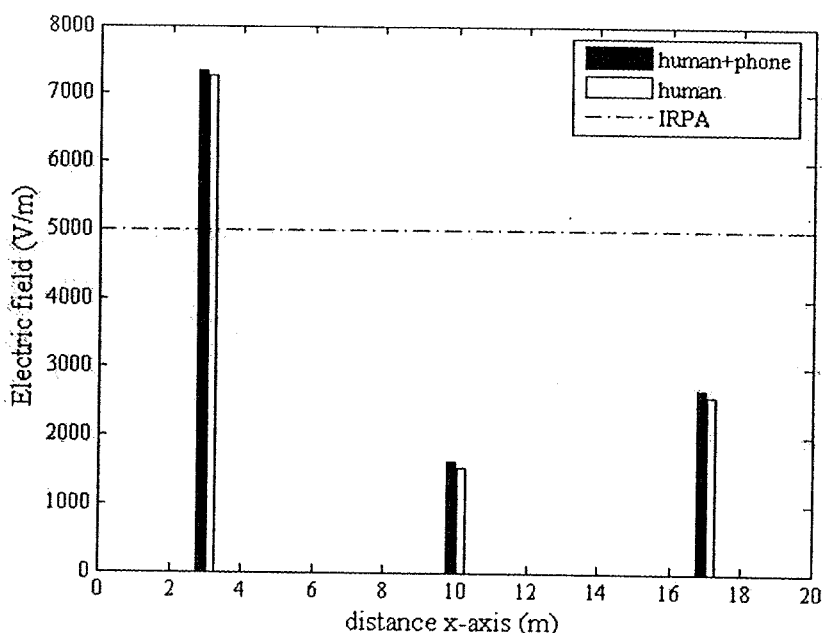
รูปที่ 5.60 การกระจายค่าสนามไฟฟ้า (V/m) ของระบบสายสั่งไฟฟ้า 3 เพลสไม่สมดุล เมื่อ
 $V_A = 253\angle 0^\circ \text{ kV}$ $V_B = 230\angle -120^\circ \text{ kV}$ $V_C = 207\angle 120^\circ \text{ kV}$ ณ ตำแหน่ง $x = 17 \text{ m}$



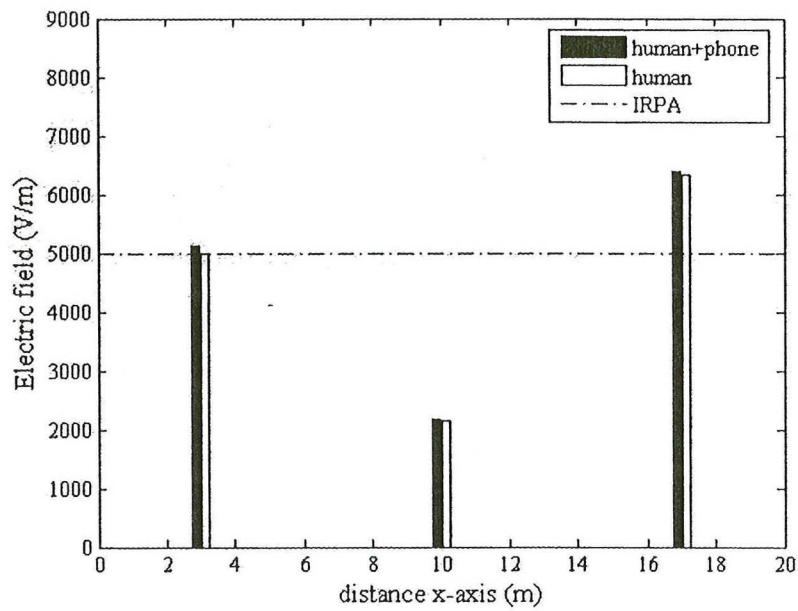
รูปที่ 5.61 การกระจายค่าสนามไฟฟ้า (V/m) ของระบบสายสั่งไฟฟ้า 3 เพลสไม่สมดุล เมื่อ
 $V_A = 207\angle 0^\circ \text{ kV}$ $V_B = 253\angle -120^\circ \text{ kV}$ $V_C = 230\angle 120^\circ \text{ kV}$ ณ ตำแหน่ง $x = 17 \text{ m}$



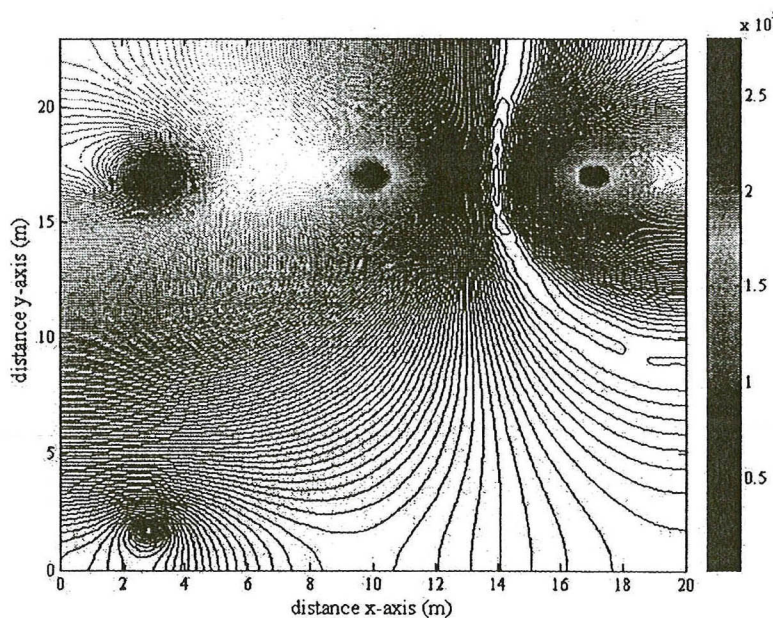
รูปที่ 5.62 เปรียบเทียบค่าสนามไฟฟ้า (V/m) บริเวณศีรษะมนุษย์จากการใช้งานโทรศัพท์มือถือ ณ ตำแหน่งต่าง ๆ ของระบบไฟฟ้า 3 เฟสไม่สมดุล (ขนาด) 230 kV แบบที่ 1



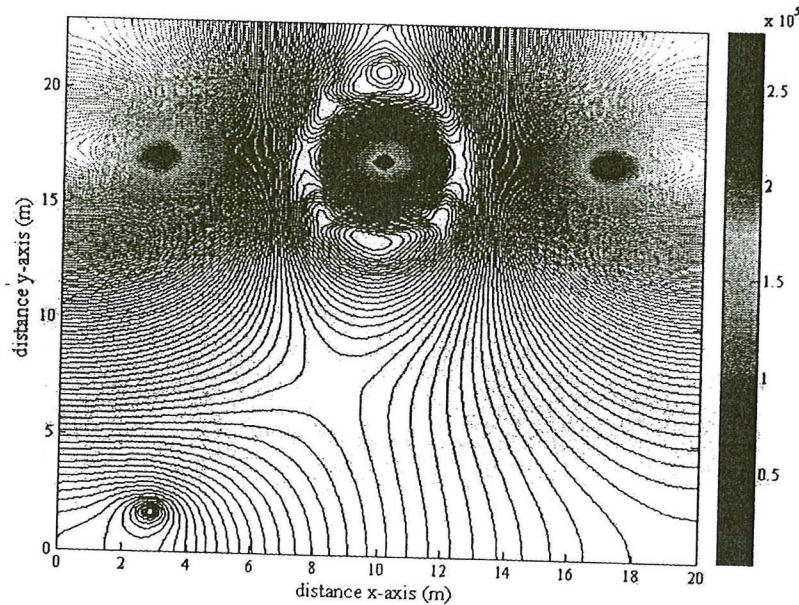
รูปที่ 5.63 เปรียบเทียบค่าสนามไฟฟ้า (V/m) บริเวณศีรษะมนุษย์จากการใช้งานโทรศัพท์มือถือ ณ ตำแหน่งต่าง ๆ ของระบบไฟฟ้า 3 เฟสไม่สมดุล (ขนาด) 230 kV แบบที่ 2



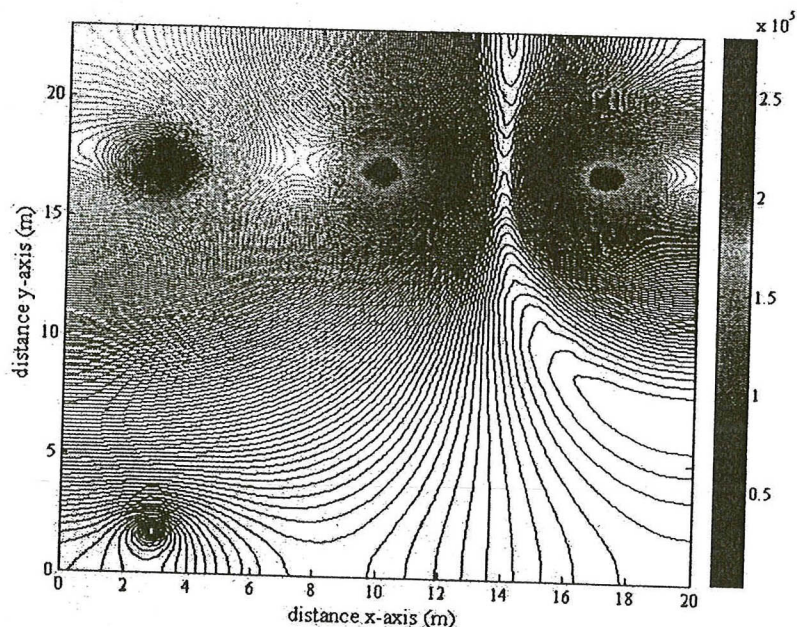
รูปที่ 5.64 เปรียบเทียบค่าสนามไฟฟ้า (V/m) บริเวณศีรษะมนุษย์จากการใช้งานโทรศัพท์มือถือ
ณ ตำแหน่งต่าง ๆ ของระบบไฟฟ้า 3 เฟสไม่สมดุล (ขนาด) 230 kV แบบที่ 3
- กรณีมุมเฟสไม่สมดุล ($\pm 30^\circ$ ของมุมเฟสอ้างอิง)



รูปที่ 5.65 การกระจายค่าสนามไฟฟ้า (V/m) ของระบบสายสั้นไฟฟ้า 3 เฟสไม่สมดุล เมื่อ
 $V_A = 230\angle 0^\circ$ kV $V_B = 230\angle -150^\circ$ kV $V_C = 230\angle 150^\circ$ kV ณ ตำแหน่ง $x = 3$ m

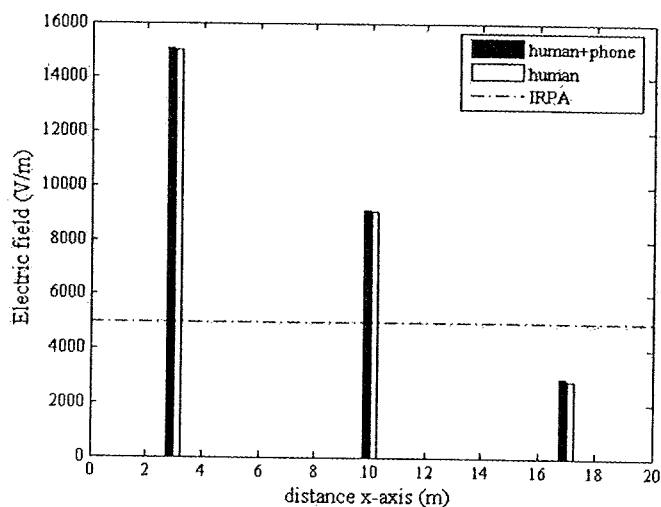


รูปที่ 5.66 การกระจายค่าสนามไฟฟ้า (V/m) ของระบบสายสั่งไฟฟ้า 3 เฟส ไม่สมดุล เมื่อ $V_A = 230\angle 30^\circ \text{ kV}$ $V_B = 230\angle -120^\circ \text{ kV}$ $V_C = 230\angle 90^\circ \text{ kV}$ และ ตำแหน่ง $x=3 \text{ m}$

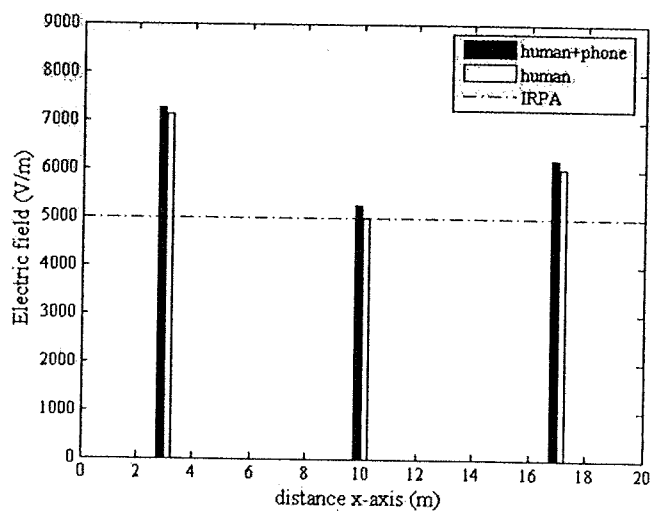


รูปที่ 5.67 การกระจายค่าสนามไฟฟ้า (V/m) ของระบบสายสั่งไฟฟ้า 3 เฟส ไม่สมดุล เมื่อ $V_A = 230\angle -30^\circ \text{ kV}$ $V_B = 230\angle -90^\circ \text{ kV}$ $V_C = 230\angle 120^\circ \text{ kV}$ และ ตำแหน่ง $x=3 \text{ m}$

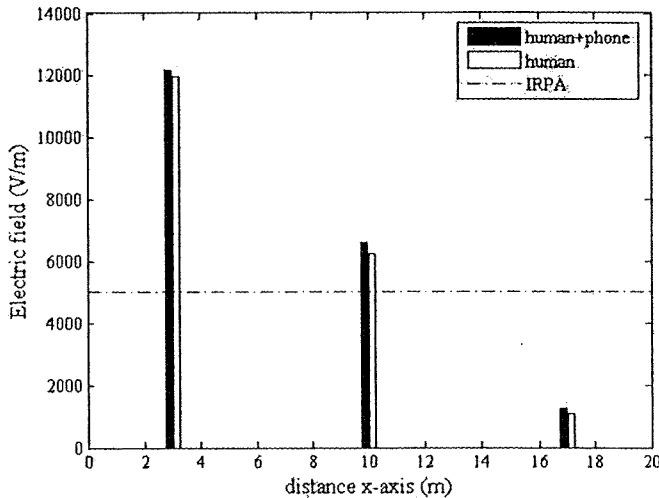
ส่วนการกระจายค่าสนามไฟฟ้าของระบบสายส่งไฟฟ้า 3 เฟสไม่สมดุล เมื่อมนุษย์ใช้งานโทรศัพท์มือถือ ณ ตำแหน่ง $x = 10 \text{ m}$ และ 17 m จะมีลักษณะการกระจายตัวคล้ายกันกับ เมื่อพิจารณา ณ ตำแหน่ง $x = 3 \text{ m}$ ที่ผ่านมาทุกประการ โดยจะมีความแตกต่างกันตรงขนาดเท่านั้น จึงไม่ขอนำเสนอในที่นี้ แต่ได้แสดงเปรียบเทียบค่าสนามไฟฟ้าบริเวณศีรษะมนุษย์จากการใช้งานโทรศัพท์มือถือ ณ ตำแหน่งดังกล่าวไว้ดังรูป



รูปที่ 5.68 เปรียบเทียบค่าสนามไฟฟ้า (V/m) บริเวณศีรษะมนุษย์จากการใช้งานโทรศัพท์มือถือ ณ ตำแหน่งต่าง ๆ ของระบบไฟฟ้า 3 เฟสไม่สมดุล (เฟส) 230 kV แบบที่ 1



รูปที่ 5.69 เปรียบเทียบค่าสนามไฟฟ้า (V/m) บริเวณศีรษะมนุษย์จากการใช้งานโทรศัพท์มือถือ ณ ตำแหน่งต่าง ๆ ของระบบไฟฟ้า 3 เฟสไม่สมดุล (เฟส) 230 kV แบบที่ 2



รูปที่ 5.70 เปรียบเทียบค่าสนามไฟฟ้า (V/m) บริเวณศีรษะมนุษย์จากการใช้งานโทรศัพท์มือถือ ณ ตำแหน่งต่าง ๆ ของระบบไฟฟ้า 3 เฟสไม่สมดุล (เฟส) 230 kV แบบที่ 3

เมื่อสังเกตการณ์เปรียบเทียบผลเฉลยค่าสนามไฟฟ้าของระบบวิธีไฟในที่ดิฟเฟอร์เรนท์ และระบบวิธีไฟในที่อิเล็กทรอนิกส์ จะเห็นว่าภาคลักษณะการกระจายค่าสนามไฟฟ้า และกราฟเส้นคอนทัวร์จากการเบี่ยบวิธีทั้งสองภายในระบบสายส่งไฟฟ้า 1 เฟสและ 3 เฟสขนาดต่าง ๆ มีลักษณะใกล้เคียงกัน และเกือบเหมือนกันทุกภาพการจำลอง ซึ่งสอดคล้องเป็นไปในทำนองเดียวกันตามทฤษฎี

5.6 เปรียบเทียบผลการจำลองแบบ 2 มิติ กับโปรแกรมสำเร็จรูป

เพื่อยืนยันความถูกต้องของโปรแกรมที่พัฒนาขึ้นทั้งสองวิธี คือ ระบบวิธีไฟในที่ดิฟเฟอร์เรนท์ และระบบวิธีไฟในที่อิเล็กทรอนิกส์ จะทำการเปรียบเทียบผลเฉลยค่าสนามไฟฟ้ากับโปรแกรมสำเร็จรูป PDETOOL โดยจะยกตัวอย่างอย่างง่ายเพื่อเปรียบเทียบผลเฉลยค่าสนามไฟฟ้าด้วยระบบสายส่งไฟฟ้า 3 เฟสขนาด 230 kV จากโปรแกรม PDETOOL สามารถกำหนดค่าพารามิเตอร์ต่าง ๆ ของระบบได้ดังนี้ (การเปรียบเทียบผลในครั้งนี้ จะพิจารณาเฉพาะขนาดแรงดันของสายส่ง ส่วนนุ่มเฟสจะไม่นำมาพิจารณา ทั้งนี้ เพราะโปรแกรม PDETOOL มีข้อจำกัดในส่วนของจำนวนเชิงช้อน)

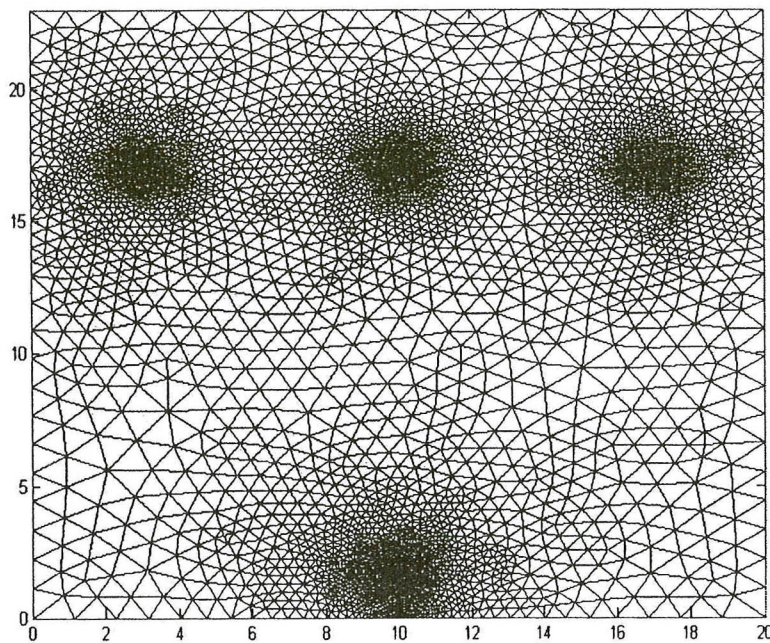
ตารางที่ 5.2 กำหนดค่าพารามิเตอร์สำหรับโปรแกรม PDETOOL

ตัวนำในสายส่ง 230 kV	
พารามิเตอร์	ค่า
ค่าสนามไฟฟ้าในตัวนำที่ 1 (E_1)	2.8203×10^5 V/m
ค่าสนามไฟฟ้าในตัวนำที่ 2 (E_2)	2.8203×10^5 V/m
ค่าสนามไฟฟ้าในตัวนำที่ 3 (E_3)	2.8203×10^5 V/m
ความถี่ (f)	50 Hz
รัศมีตัวนำ (r)	0.01 m

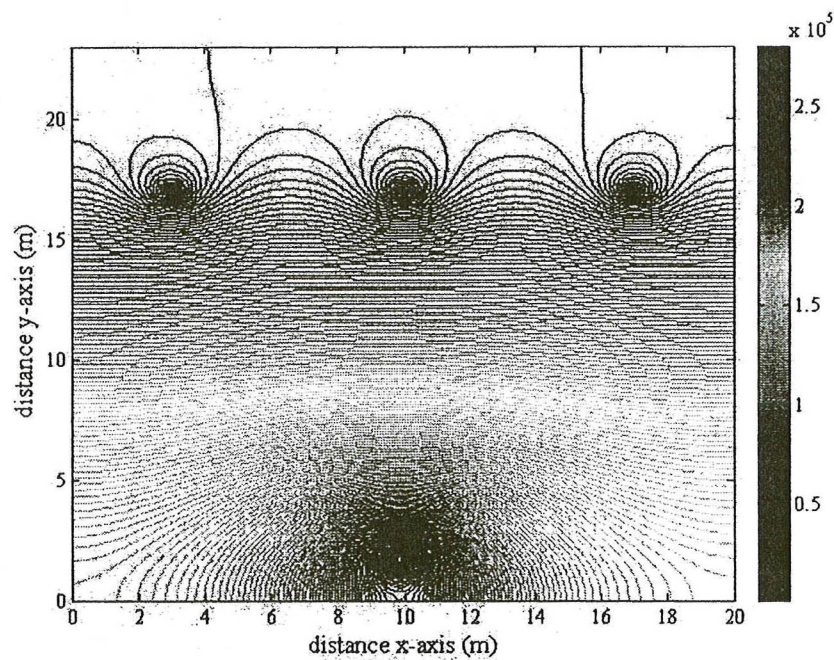
อากาศ	
พารามิเตอร์	ค่า
สภาพชานซึ่น ได้ทางแม่เหล็กในสูญญากาศ (μ_0)	$4\pi \times 10^{-7}$ H/m
สภาพชานซึ่น ได้ทางแม่เหล็กสัมพัทธ์ในอากาศ (μ_r)	1.00000037
สภาพย้อม ได้ทางไฟฟ้าในสูญญากาศ (ϵ_0)	8.854×10^{-12} F/m
สภาพย้อม ได้ทางไฟฟ้าสัมพัทธ์ในอากาศ (ϵ_r)	1

มนุษย์	
พารามิเตอร์	ค่า
สภาพชานซึ่น ได้ทางแม่เหล็กในสูญญากาศ (μ_0)	$4\pi \times 10^{-7}$ H/m
สภาพชานซึ่น ได้ทางแม่เหล็กสัมพัทธ์ในมนุษย์ (μ_r)	1.00000037
สภาพย้อม ได้ทางไฟฟ้าในสูญญากาศ (ϵ_0)	8.854×10^{-12} F/m
สภาพย้อม ได้ทางไฟฟ้าสัมพัทธ์ในมนุษย์ (ϵ_r)	5

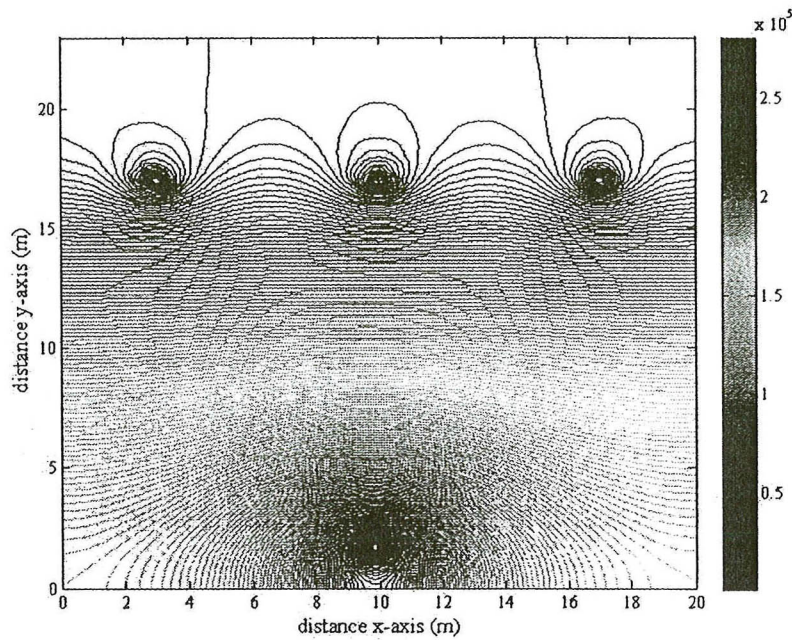
โทรศัพท์มือถือ	
พารามิเตอร์	ค่า
บริเวณขอบบนซ้ายของตัวเครื่อง (P_1)	45.5 V/m
บริเวณขอบบนขวาของตัวเครื่อง (P_2)	45.5 V/m
บริเวณขอบด้านซ้ายของตัวเครื่อง (P_3)	33.5 V/m
บริเวณขอบด้านขวาของตัวเครื่อง (P_4)	48.2 V/m
บริเวณขอบล่างซ้ายของตัวเครื่อง (P_5)	48.5 V/m
บริเวณขอบล่างขวาของตัวเครื่อง (P_6)	48.5 V/m



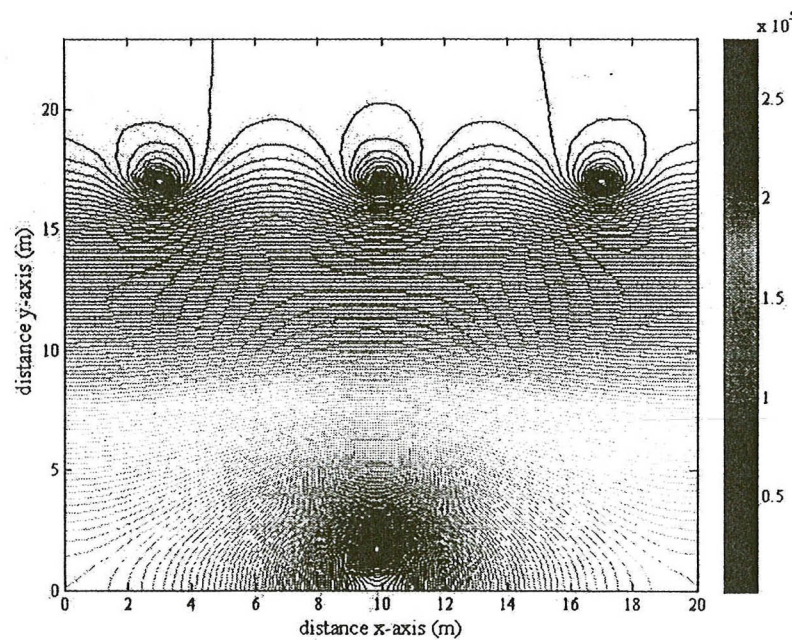
รูปที่ 5.71 การออกแบบกริดด้วย PDETOOL ของระบบสายส่งไฟฟ้าขนาด 230 kV



รูปที่ 5.72 การกระจายสนามไฟฟ้าที่กระจายรอบสายส่งไฟฟ้า 3 เฟสขนาด 230 kV
ด้วย PDETOOL



รูปที่ 5.73 การกระจายค่าสนามไฟฟ้าของระบบสายส่งไฟฟ้า 3 เฟสบนด 230 kV
ด้วยระเบียบวิธีไฟโน่คิพเพอร์เรนท์



รูปที่ 5.74 การกระจายค่าสนามไฟฟ้าของระบบสายส่งไฟฟ้า 3 เฟสบนด 230 kV
ด้วยระเบียบวิธีไฟโน่คิพเพอร์เรนท์ อิลิเมนท์

หลังการออกแบบกริดของระบบสายส่งไฟฟ้า 230 kV ด้วยโปรแกรม PDETOOL จะสามารถออกแบบได้ดังรูปที่ 5.108 จากนั้นทำการหาค่าผลเฉลยที่ได้จาก PDETOOL และนำค่าผลเฉลยที่ได้มาวาดกราฟใหม่ในโปรแกรม MATLAB™ โดยรูปที่ 5.109 คือ กราฟการกระจายค่าสนามไฟฟ้ารอบสายส่ง และสามารถแสดงผลเฉลยดังกล่าวด้วยระเบียนวิธีไฟในท่อฟเฟอร์เรนท์กับระเบียนวิธีไฟในท่ออลิเมนท์ได้ดังรูปที่ 5.110 และรูปที่ 5.111 ตามลำดับ

จะสังเกตเห็นว่าผลเฉลยค่าสนามไฟฟ้าของระบบสายส่งไฟฟ้า 3 เฟสขนาด 230 kV ของโปรแกรม PDETOOL จะมีผลเฉลยใกล้เคียงกันกับระเบียนวิธีไฟในท่อฟเฟอร์เรนท์ และระเบียนวิธีไฟในท่ออลิเมนท์ และเพื่อให้เห็นถึงความถูกต้องในการคำนวณมากยิ่งขึ้น จึงทำการเปรียบเทียบค่าตอบรับว่างโนดต่อโนดของแต่ละวิธี โดยอาศัยตำแหน่งพิกัดค่าตอบของระเบียนไฟในท่ออลิเมนท์เป็นหลักในการอ้างอิง (847 โนด) ซึ่งสามารถสรุปขั้นตอนการดำเนินการได้ดังนี้

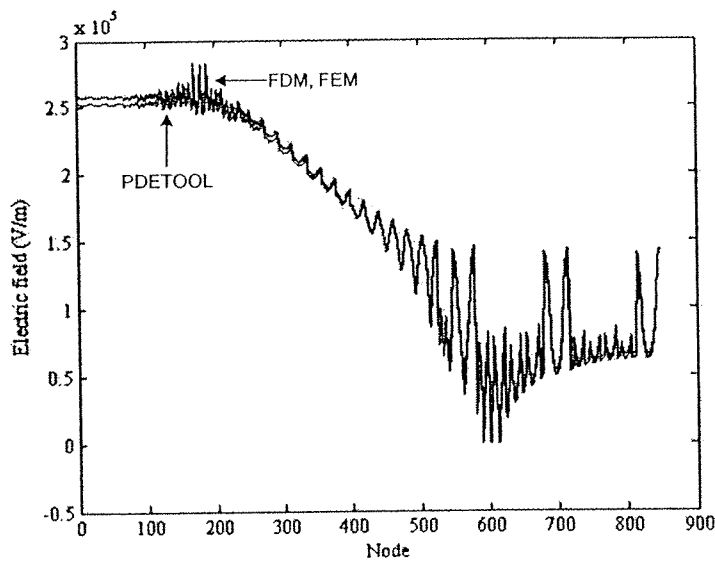
ดำเนินการที่ PDETOOL:

1. สร้างระบบสายส่งไฟฟ้า 3 เฟสขนาด 230 kV
2. เก็บค่าผลเฉลยจาก PDETOOL และค่าตำแหน่งพิกัดของแต่ละโนด
3. ใช้คำสั่ง griddata ของโปรแกรม MATLAB™ ในการหาค่าตอบตามโนดอ้างอิงของระบบตามระเบียนไฟในท่ออลิเมนท์ โดยอาศัยข้อมูลในการคำนวณจากขั้นตอนที่ 2

ดำเนินการที่ระเบียนวิธีไฟในท่อฟเฟอร์เรนท์:

4. สร้างระบบสายส่งไฟฟ้า 3 เฟสขนาด 230 kV
5. เก็บค่าผลเฉลยจาก ระเบียนวิธีไฟในท่อฟเฟอร์เรนท์ และค่าตำแหน่งพิกัดของแต่ละโนด
6. ใช้คำสั่ง griddata ของโปรแกรม MATLAB™ ในการหาค่าตอบตามโนดอ้างอิงของระบบตามระเบียนไฟในท่ออลิเมนท์โดยใช้ข้อมูลในการคำนวณจากขั้นตอนที่ 5
7. เปรียบเทียบค่าตอบโนดต่อโนดร่วมกับผลเฉลยค่าสนามไฟฟ้าของระเบียนวิธีทั้งสอง คือ ระเบียนวิธีไฟในท่อฟเฟอร์เรนท์ และ ระเบียนไฟในท่ออลิเมนท์ กับโปรแกรมสำหรับรูป PDETOOL

จากวิธีดำเนินการตามขั้นตอนดังกล่าวสามารถเปรียบเทียบผลเฉลยค่าสนามไฟฟ้าของระเบียนวิธีไฟในท่อฟเฟอร์เรนท์ และ ระเบียนไฟในท่ออลิเมนท์ กับโปรแกรมสำหรับรูป PDETOOL ซึ่งสามารถแสดงได้ตามรูปที่ 5.112 โดยรูปดังกล่าวจะเปรียบเทียบค่าตอบแบบโนดต่อโนดทั้งหมดภายในระบบสายส่งไฟฟ้า 3 เฟสขนาด 230 kV



รูปที่ 5.75 คำตอบโนดต่อโนดภายในช่วงโนด 1-847

ตารางที่ 5.3 ระดับสูงสุดของสนามไฟฟ้าที่มนุษย์สามารถสัมผัสได้อย่างปลอดภัย

สถานที่	ค่าสนามไฟฟ้า (E) (kV/m)
สถานประกอบการ	
- ตลอดชั่วโมงการทำงาน	10
- ช่วงเวลาสั้น	30
สาธารณณะ	
- ตลอด 24 ชั่วโมง	5
- 2-3 ชั่วโมง	10

เมื่อสังเกตการเปรียบเทียบผลเฉลยค่าสนามไฟฟ้าของระบบเบินวิธีไฟในท่อเฟอร์เรนท์ และระบบไฟในท่ออลิเมนท์ กับโปรแกรมสำหรือรูป PDETOOL จะเห็นว่าเส้นกราฟจากระบบเบินวิธีไฟในท่อเฟอร์เรนท์ และระบบไฟในท่ออลิเมนท์ มีลักษณะใกล้เคียงกันมากและเกือบทันกันพอดี ตลอดทุกช่วงโนดดังปรากฏในรูปที่ 5.112 ในขณะที่ผลเฉลยค่าสนามไฟฟ้าจากโปรแกรมสำหรือรูป PDETOOL จะมีลักษณะเส้นกราฟในทำนองเดียวกับระบบเบินวิธีทั้งสองช่วงกัน แต่จะให้ผลเฉลยที่แตกต่างกันในบางช่วงคำตอบ โดยสาเหตุความคลาดเคลื่อนที่เกิดขึ้นอาจมาจากการกำหนดค่ารัศมีตัวนำของสายส่งภายในโปรแกรมสำหรือรูป PDETOOL เพราะเนื่องจากการคำนวณด้วยระบบเบินวิธี

ไฟในท่อฟเฟอร์เรนท์ และ ระเบียงไฟในห้องแม่ลักษณะเป็นจุด ในขณะที่โปรแกรม PDETOOL ไม่สามารถกำหนดให้ตัวนำเป็นจุดได้ จะต้องทำการป้อนค่ารัศมีตัวนำทุกครั้งที่ทำการคำนวณ จึงเป็นสาเหตุให้เกิดความแตกต่างของผลเฉลยที่ได้

จากมาตรฐานขององค์กร International Radiation Protection Association (IRPA) ได้ระบุข้อกำหนดระดับค่าสนานไฟฟ้าสูงสุดที่มนุษย์สามารถสัมผัสได้อย่างปลอดภัยดังตารางที่ 5.3 จากข้อกำหนดดังกล่าวจะใช้เป็นเกณฑ์ในการตรวจสอบระยะห่างของมนุษย์จากสายสั่งที่เหมาะสม โดยคุณค่าสนานไฟฟ้าที่ปลอดภัยสำหรับมนุษย์ ในที่นี้จะเลือกใช้ระดับสูงสุดของสนานไฟฟ้าที่มนุษย์สัมผัสได้อย่างปลอดภัยเท่ากับ 5 kV/m (สาธารณ) เพราะเนื่องจากระบบที่ศึกษาเปรียบเสมือนบริเวณพื้นที่โล่งที่มีผู้คนผ่านไปมาอยู่ตลอดเวลา รวมถึงการใช้งานโทรศัพท์มือถือสื่อสารในบริเวณดังกล่าวด้วย จากผลการจำลองค่าสนานไฟฟ้าทั้งหมดของระบบสายสั่งไฟฟ้า 1 เพสนาค 69 kV ระบบไฟฟ้า 3 เพสสมดุลขนาด 230 kV และ 500 kV ระบบไฟฟ้า 3 เพสไม่สมดุลขนาด 230 kV จะเห็นว่าภายในระบบไฟฟ้า 1 เพส จะมีค่าสนานไฟฟ้าสูงสุดไม่เกิน 5 kV/m ด้วยเหตุนี้การใช้งานโทรศัพท์มือถือในบริเวณนี้ ในขณะที่ระบบไฟฟ้า 3 เพสสมดุล และ 3 เพสไม่สมดุลจะมีปริมาณค่าสนานไฟฟ้าเกิน 5 kV/m โดยเฉพาะอย่างยิ่งระบบไฟฟ้า 3 เพสสมดุลและ 3 เพสไม่สมดุลขนาด 230 kV และ 500 kV ที่มีค่าสนานไฟฟ้าสูงถึง $2.5 \times 10^5 \text{ V/m}$ และ $5.5 \times 10^6 \text{ V/m}$ ตามลำดับ ซึ่งอาจก่อให้เกิดอันตรายอย่างยิ่งต่อมนุษย์ที่ใช้งานโทรศัพท์มือถือในขณะที่เข้าใกล้บริเวณระบบไฟฟ้า 3 เพสสมดุล นอกจากนี้การลดหย่อนของสายสั่งไฟฟ้าแรงสูงก็เป็นสาเหตุสำคัญสาเหตุหนึ่งที่สามารถก่อให้เกิดอันตรายต่อมนุษย์ผู้ใช้โทรศัพท์มือถือได้เช่นกัน

5.7 สรุป

บทที่ 5 เป็นการจำลองผลเพื่อศึกษาถึงผลกระทบค่าสนานไฟฟ้าที่เกิดขึ้น จากการใช้งานโทรศัพท์มือถือของมนุษย์ภายในบริเวณสายสั่งไฟฟ้านาคต่าง ๆ ด้วยระเบียงวิธีไฟในท่อฟเฟอร์เรนท์ และ ระเบียงไฟในห้องแม่แบบ 2 มิติ จากการจำลองผลของระบบสายสั่งไฟฟ้า 1 เพสนาค 220 V 22 kV และ 69 kV ระบบไฟฟ้า 3 เพสสมดุลขนาด 69 kV 115 kV 230 kV และ 500 kV และระบบไฟฟ้า 3 เพสไม่สมดุล จะได้ผลเฉลยไปในทิศทางเดียวกัน และมีค่าใกล้เคียงกันทั้งสองระบบวิธี โดยสามารถตรวจสอบความถูกต้องด้วยโปรแกรมสำหรับ PDETOOL ที่มีความเชื่อถือได้ ซึ่งให้ผลเฉลยสอดคล้องไปในทิศทางเดียวกันกับระบบวิธีทั้งสอง นอกจากนี้ยังสามารถระบุระบบที่มีความเสี่ยงต่อกำลังไฟฟ้าที่สูง สามารถลดความเสี่ยงด้วยการใช้งานโทรศัพท์มือถือห่างจากไฟฟ้า 1 เพสนาค ให้ต่ำตามมาตรฐานของ IRPA